



بررسی سنگ نگاری و شیمی کانی‌ها در آپلیت-پگماتیت‌های دره سیمین (جنوب همدان)

علی اصغر سپاهی گرو*، صدیقه سلامی، محمد معانی جو

دانشگاه بوعلی سینا، دانشکده علوم، گروه زمین‌شناسی

(دریافت مقاله: ۹۷/۱۲/۱، نسخه نهایی: ۹۸/۳/۱۲)

چکیده: دایک‌های آپلیتی-پگماتیتی موجود در جنوب شرقی همدان، در منطقه سیمین از لبه به سمت مرکز دو منطقه بافتی ویژه دارند که به خوبی اثر پیشرفت تبلور را در این دایک‌ها نشان می‌دهند: ۱- منطقه حاشیه با ساخت‌های ناهمسان شامل واحدهای دانه-ریز، هم رشدی گرافیکی و ساخت‌های انجماد یک جهته و ۲- منطقه داخلی با ساخت‌های توده‌ای و درشت بلور. تجزیه‌های ریزپردازشی برای کانی‌های تورمالین، پلاژیوکلاز و فلدسپار پتاسیم انجام شد. تورمالین‌ها دارای ترکیب شورلیت هستند. در نمودار $\text{FeO}/(\text{FeO}+\text{MgO})$ نسبت به MgO که خاستگاه تورمالین‌ها را مشخص می‌کند، تورمالین‌های مورد بررسی دارای $\text{Fe}^\#$ بین ۰/۸ تا ۱ هستند که نشان دهنده تشکیل آنها در یک سیستم ماگمایی و دخالت نداشتن سیال‌های خارجی در تشکیل آنهاست. ترکیب پلاژیوکلازهای مورد بررسی غنی از آل بیت (Ab_{90-100}) بوده و فلدسپارهای پتاسیم نیز دارای ۹۷-۹۲ درصد فلدسپار پتاسیم هستند. این امر نشان دهنده پیشرفت تبلور جدایشی در ماگمای وابسته است. منطقه بندی موجود در تورمالین‌های مورد بررسی هم در مقاطع نازک و هم در تجزیه های شیمیایی به خوبی مشهود است. در فلدسپارهای مورد بررسی، مقادیر نسبتاً بالای Rb (۱۳۱۹ ppm) و همچنین Cs (۲۰۵ ppm) نشان دهنده درجه جدایش بالا در ماگمای وابسته است.

واژه‌های کلیدی: آپلیت؛ پگماتیت؛ تبلور جدایشی؛ منطقه بندی؛ سیمین؛ پهنه‌ی سندیج-سیرجان.

مقدمه

پگماتیتی را ندارند و ترکیب سیال‌های موجود در این لایه‌های مرزی فقط آب نیست. Al و Si در مایعات غنی از مواد فرار و قلیایی‌ها بسیار محلول هستند، اما حلالیت آن‌ها در سیال‌های تنها آب‌دار کم است. پژوهشگرانی [۳-۵] مدل پالایش پهنه ساختاری را ارائه کردند که بر اساس آن عامل تشکیل پگماتیت‌ها، لایه‌های مرزی غنی از مواد فرار (F و P ، H ، B) هستند که در مذاب گرانیته با گرانیروی بالا تشکیل شده‌اند. آنها همچنین پژوهش‌های گسترده‌ای پیرامون ساخت‌های موجود در آپلیت-پگماتیت‌ها انجام دادند. دایک‌های آپلیتی-پگماتیتی موجود در منطقه سیمین از نظر ساخت‌ها و کانی‌های رایج در آپلیت-پگماتیت‌ها، بسیار ویژه و قابل توجه هستند. از جمله پژوهش‌های انجام شده در منطقه می‌توان به بررسی

از دیرباز، زمین‌شناسان پیرامون شرایط تشکیل پگماتیت‌ها اختلاف نظر داشته‌اند. بیش از یک قرن سنگ‌شناسان از جمله جانز [۱] معتقد بودند که مذاب‌های تشکیل دهنده پگماتیت‌ها غنی از عناصر فرار (F ، H ، P ، B) بوده و در نتیجه دارای گرانیروی پایینی هستند. طی کارهای آزمایشگاهی مشترکی که جانز با بارنهام انجام داد [۲] نظرش تغییر کرد و به این نتیجه رسید که اغلب پگماتیت‌ها فقیر از مواد فرار هستند و گرانیروی مذاب تشکیل دهنده پگماتیت‌ها بسیار بالاست. در پژوهش‌های بعدی مشخص شد که حلالیت Al و Si در محلول‌های آب‌دار پایین است و سیال‌های غنی از آب توانایی حل کردن و تأمین مواد مورد نیاز برای رشد بلورهای

*نویسنده مسئول، تلفن: ۰۹۱۸۳۱۲۲۱۶۹، نمابر: ۰۸۱۳۸۳۸۱۱۷۲، پست الکترونیکی: aasepahi@gmail.com

Resonetics S-155-LR نمودارهای لازم با نرم افزارهای رایانه‌ای AX و Mincalculation رسم و تفسیر شدند.

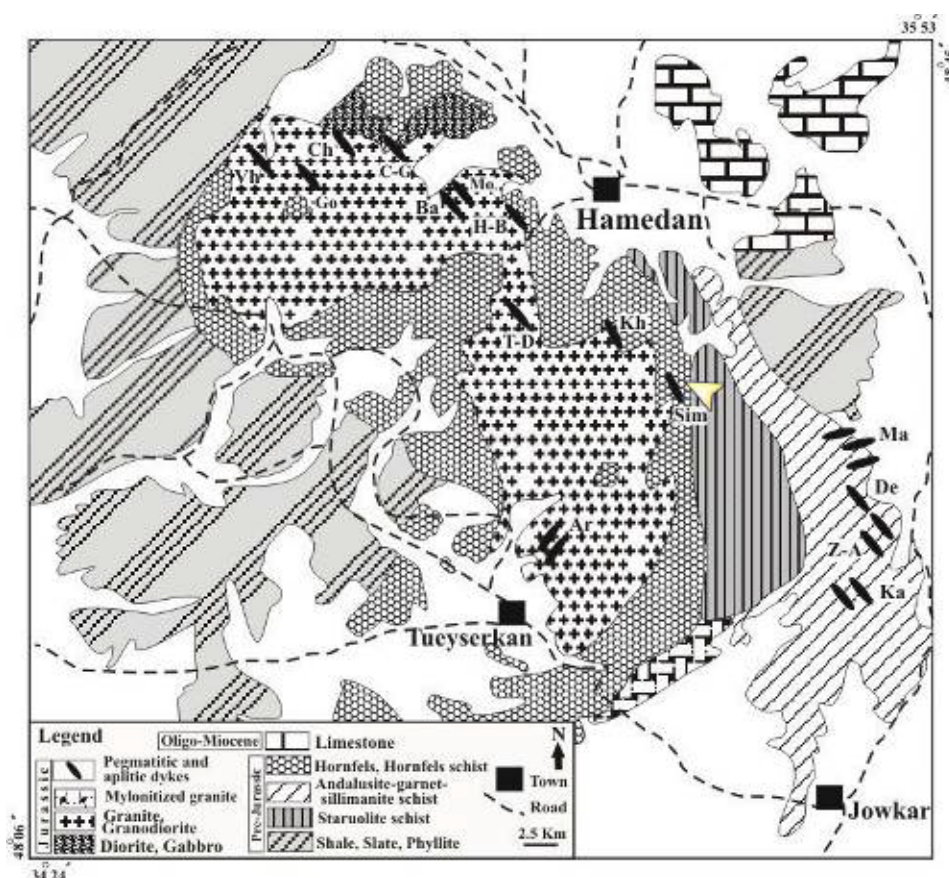
جایگاه جغرافیایی و زمین‌شناسی

منطقه مورد بررسی در ۱۵ کیلومتری جنوب شرقی همدان قرار دارد. راه‌های ارتباطی به منطقه مورد نظر جاده فقیره، ابرو-سیمین است (شکل ۱) [۱۱]. این منطقه در گستره طول‌های جغرافیایی $31^{\circ} 48'$ تا $33^{\circ} 48'$ شرقی و عرض‌های جغرافیایی $34^{\circ} 37'$ تا $40^{\circ} 34'$ شمالی قرار دارد. در پهنه‌بندی ساختاری ایران، این منطقه بخشی از پهنه سندانج-سیرجان به حساب می‌آید. از نظر برخی پژوهشگران [۱۲]، منطقه همدان در زیرپهنه با دگرشکلی پیچیده پهنه سندانج-سیرجان قرار دارد و دستخوش چندین دگرگونی ناحیه‌ای و مجاورتی شده است. در این منطقه، رخنمون‌هایی از سنگ‌های دگرگونی ناحیه‌ای، مجاورتی، میگماتیت‌ها و سنگ‌های نفوذی دیده می‌شود. سنگ‌های نفوذی موجود در منطقه شامل گابرو، دیوریت، تونالیت، گرانودیوریت، گرانیت، آپلیت و پگماتیت است. بیرون‌زدگی‌های آپلیت-پگماتیت‌های منطقه اغلب منظم و به صورت دایک‌هایی با روند شمال‌غربی-جنوب‌شرقی هستند که سنگ‌های میزبان آذرین نفوذی و دگرگونی را قطع کرده‌اند. میزبان این دایک‌ها در منطقه سیمین (جنوب شرق همدان) سنگ‌های دگرگونی با درجه متوسط تا بالا شامل آندالوزیت شلیست‌ها، کردیریت هورنفلس و میگماتیت‌ها هستند. شواهد پهنه‌ی برشی در منطقه مورد نظر به خوبی مشهود است. ایزدی کیان و همکاران [۱۳] نیز شواهد پهنه برشی را در گستره منطقه سیمین تا دره مرادیگ بررسی کرده است و منطقه مورد نظر را پهنه برشی سیمین-دره مراد بیگ نامیده‌اند. در میگماتیت‌های منطقه مانند سایر سنگ‌های دگرگونی، تنوع کانی‌شناسی بسیاری دیده می‌شود و کانی‌های شاخص دگرگونی مانند گارنت، آندالوزیت، سیلیمانیت، گاهی کیانیت، استارولیت، کردیریت و اسپینل به همراه میکاها، کوارتز و فلدسپار در آنها یافت می‌شوند. بر اساس سن‌سنجی انجام شده به روش U-Pb بر کانی زیرکن موجود در میگماتیت‌های منطقه [۱۴]، سن دگرگونی این میگماتیت‌ها ژوراسیک میانی (Ma) ۱۸۰-۱۶۰ به دست آمد.

بافت سنگ‌های دگرگونی ناحیه‌ای شرق باتولیت همدان توسط فرهپور [۶] اشاره کرد؛ جعفری [۷] به سنگ‌شناسی سنگ‌های منطقه جنوب سیمین پرداخت. مولایی یگانه [۸] عوامل کنترل‌کننده‌ی توزیع نامنظم کیانیت در سنگ‌های دگرگونی و آذرین نفوذی منطقه همدان را بررسی کرد. ایزدی کیان [۹] تحلیل ساختاری و سنگ‌بافتی سنگ‌های دگرگونی کوهستان الوند را انجام داد و سپاهی و همکاران [۱۰] نیز زمین‌شیمی تورمالین-های موجود در دایک‌های آپلیتی-پگماتیتی الوند و سنگ‌های دگرگونی منطقه همدان را بررسی کردند. پژوهش‌های پیشین در منطقه بیشتر پیرامون سنگ‌های دگرگونی بوده و دایک‌های آپلیتی-پگماتیتی موجود در منطقه کمتر مورد توجه بوده است. از این رو در این پژوهش ساخت‌های موجود در این آپلیت-پگماتیت‌ها و شیمی کانی‌های وابسته و خاستگاه آنها به دقت بررسی می‌شود.

روش پژوهش

طی بررسی‌های صحرایی، حدود ۱۰۰ نمونه دستی از انواع (دگرگونی و آذرین) سنگ‌های موجود در منطقه برداشت شد که از بین آنها ۲۰ نمونه جهت تهیه مقطع نازک و بررسی میکروسکوپی انتخاب شدند. به منظور بررسی شیمی کانی‌های موجود در آپلیت-پگماتیت‌های منطقه، تجزیه ریز پردازشی برای پنج مقطع نازک صیقلی انجام شد که به طور کلی کانی‌های تورمالین (۲۳ نقطه) و فلدسپار (۲۲ نقطه) بررسی شدند. از این تعداد، ۱۰ نقطه تورمالین و ۸ نقطه فلدسپار توسط شرکت فرآوری مواد معدنی کرج با ریزپردازشگر نقطه‌ای مدل SX100 ساخت شرکت Cameca فرانسه در شرایط ولتاژ ۱۵ kV، فشار 4×10^{-7} torr و جریان ۲۰ nA تجزیه شد. به منظور تعیین مقدار عناصر فرعی و کمیاب در کانی‌ها نیز تعداد ۲ مقطع نازک صیقلی با ضخامت $30 \mu\text{m}$ به دانشگاه نیوبرونزویک کانادا فرستاده شد، که ۱۳ نقطه تورمالین و ۱۴ نقطه فلدسپار به روش طیف سنجی جرمی پلاسمای جفت شده القایی سایش لیزری (LA-ICP-MS) بررسی شد. در این آزمایش‌ها، عنصر Si به عنوان عنصر پایه در نظر گرفته شد و بقیه عناصر نسبت به آن سنجیده شدند و بنابر این غلظت این عنصر در تجزیه‌ها منظور نشده است. توسط دستگاه مدل Agilent 7700x quadrupole مجهز به یک دستگاه لیزر برانگیخته پار مدل



شکل ۱ نقشه زمین‌شناسی منطقه‌ی همدان و جایگاه آپلیت-پگماتیت‌های مورد بررسی بر آن، جایگاه منطقه مورد بررسی با پیکان مشخص شده است (برگرفته از نقشه زمین‌شناسی ۱:۲۵۰۰۰۰ سازمان زمین‌شناسی کشور [۱۱] با تغییرات). علائم اختصاری عبارتند از Ka: کمری، Z-A: زمان-آباد، De: دهنو، Ma: منگاو، Ar: آرتیمان، Sim: سیمین، Kh: خاکو، T-D: تاریک‌دره، H-B: حیدره بالاشهر، Mo: موئجین، Ba: برفجین، C-: چشمه قصابان، Ch: چایان، Go: گوشلان و Vh: وهنان.

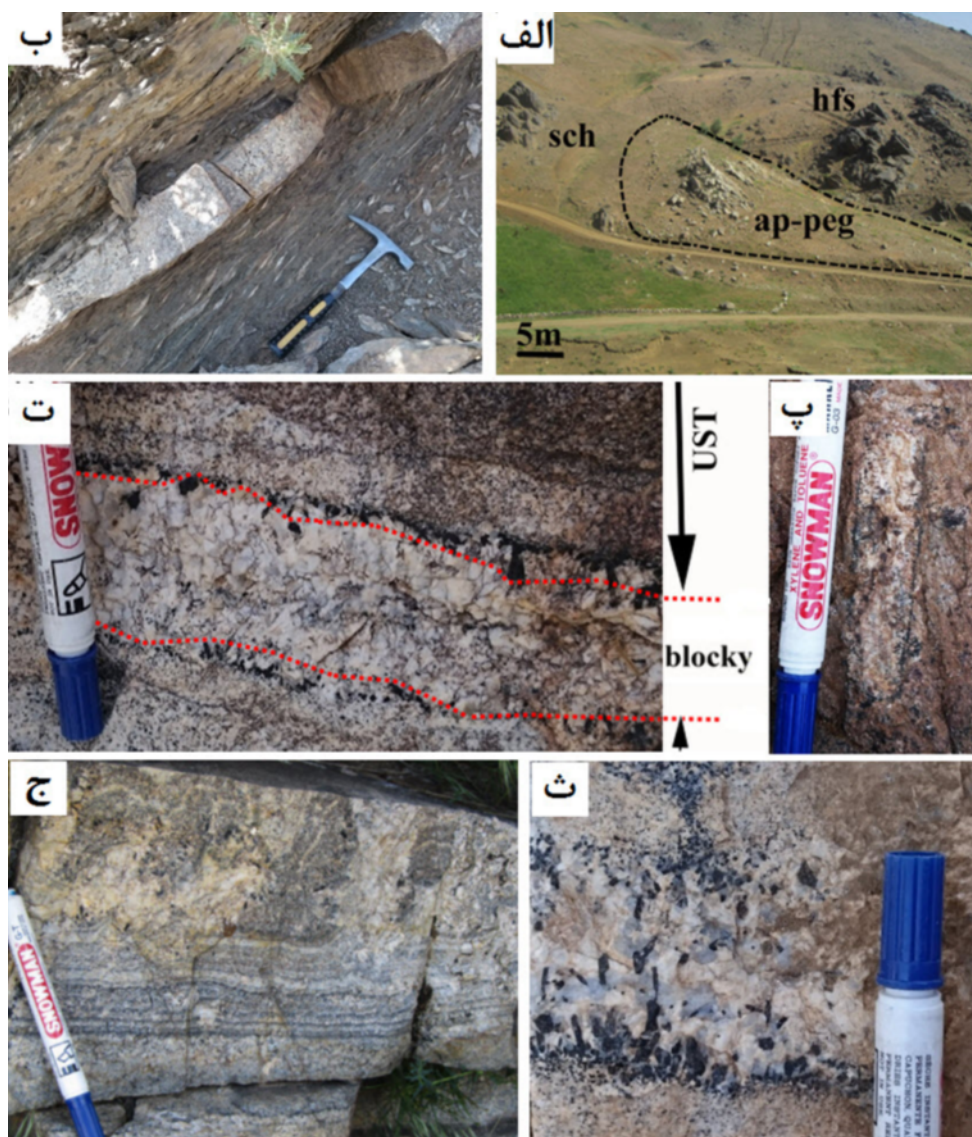
سنگ‌نگاری

سنگ‌های منطقه به دو دسته‌ی سنگ‌های دگرگونی و آذرین تقسیم می‌شوند. در این منطقه شواهد دو فاز دگرگونی ناحیه‌ای و مجاورتی کاملاً مشهود است. در سنگ‌های دگرگونی ناحیه‌ای، در پی تزریق توده‌های نفوذی، دگرگونی مجاورتی نیز رخ داده است. به عبارت دیگر، دستخوش دو فاز دگرگونی (نخست دگرگونی ناحیه‌ای و سپس دگرگونی مجاورتی) شده‌اند. از سنگ‌های دگرگونی مجاورتی انواع هورنفلس (شکل ۲ الف) و از نمونه‌های دگرگونی ناحیه‌ای میگماتیت‌ها، و شلیست‌ها (شکل ۲ ب) را می‌توان نام برد. در برخی از این میگماتیت‌ها نوارهای تیره و روشن به خوبی قابل تشخیص است. همچنین در آنها آثار لایه‌بندی اولیه برجای مانده از سنگ مادر به آشکارا دیده می‌شود. در این میگماتیت‌ها، قالب‌های آندالوزیت که با کیانیت و سیلیمانیت پر شده‌اند وجود دارند و پیرامون این بلورهای درشت کیانیتی و سیلیمانیتی شده، ریز بلورهای تورمالین در اثر انتشار بور از دایک‌های آپلیت-پگماتیتی موجود رشد کرده-

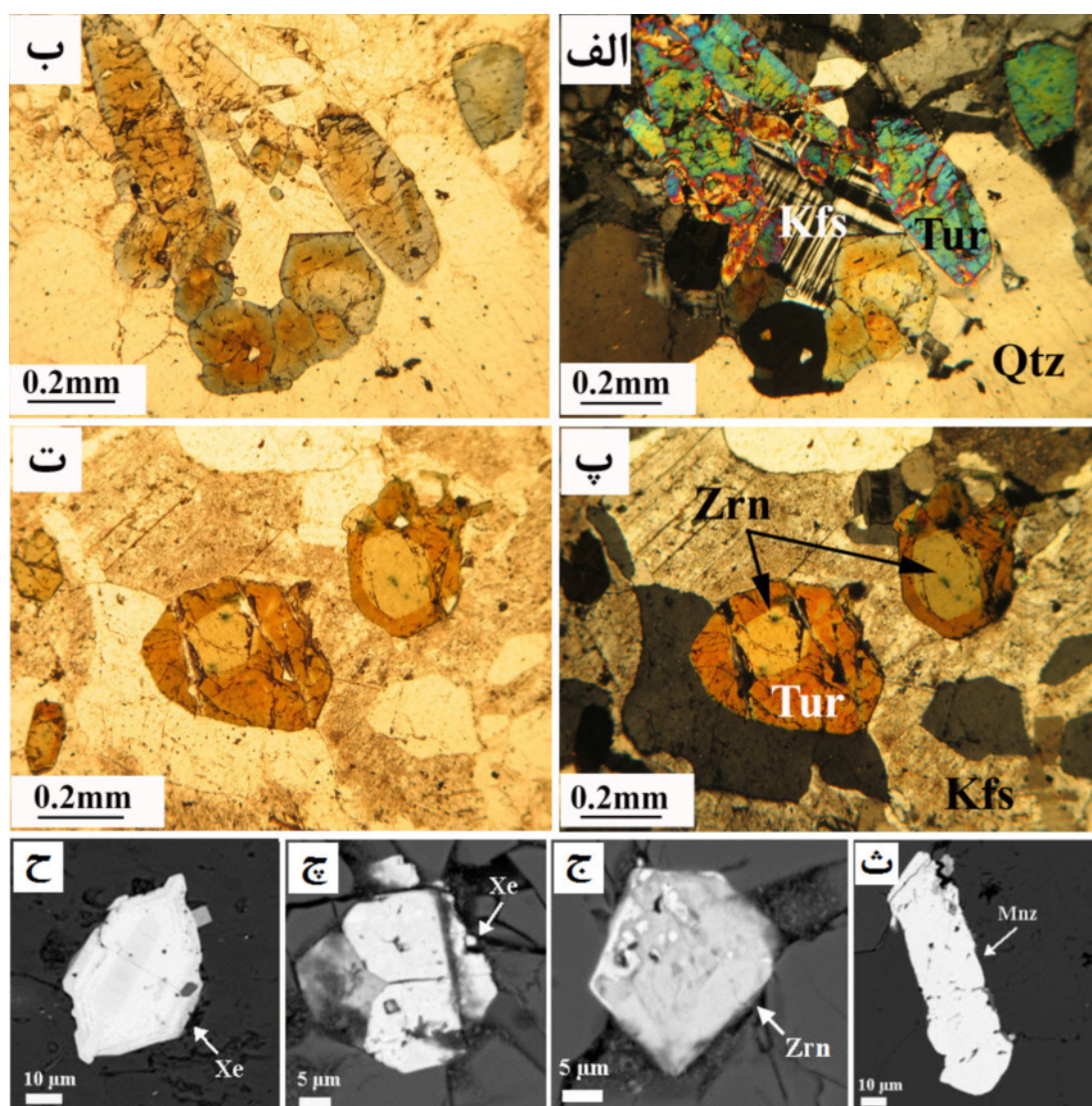
اند (شکل ۲ پ). علت تشکیل کیانیت در پورفایروبلست‌های آندالوزیت می‌تواند تنش ایجاد شده در پهنه‌های برشی باشد، زیرا در خارج از پهنه‌های برشی، این تغییرات در پورفایروبلست‌های آندالوزیت دیده نمی‌شود. تشکیل سیلیمانیت نیز مربوط به افزایش دما در منطقه است. آندالوزیت‌های سیگموتیدی (S شکل) موجود در شلیست‌های حاشیه نیز شواهد پهنه برشی را نشان می‌دهند (شکل ۲ ب). مهم‌ترین سنگ‌های آذرین موجود در منطقه شامل دایک‌های آپلیتی-پگماتیتی هستند که در راستای شلیستوارگی سنگ-های میزبان نفوذ کرده‌اند و از نظر راستای نفوذ بسیار منظم و دارای راستای NNW-SSE هستند. این دایک‌ها شامل کانی-های کوارتز، میکروکلین، فلدسپار پتاسیم پرتیتی، پلاژیوکلاز و گارنت هستند. پگماتیت‌های این منطقه از آنجا که ساخت نواری دارند، دارای تناوبی از لایه‌های غنی از تورمالین و مسکوویت هستند. تورمالین‌های موجود دارای حلقه‌های منطقه بندی کاملاً مشخصی هستند که در قسمت‌های داخلی بیشتر

سطح میعان تشکیل می‌شوند. در پهنه خارجی پگماتیت‌ها، به علت گرانیروی بالای ماگما، رشد رو به داخل جبهه‌های تبلور به مراتب سریع‌تر از انتشار جانبی آنهاست و در نتیجه رشد بلور کاملاً در راستای مذاب باقی مانده است [۱۵]. ۲- در پهنه داخلی پگماتیت‌ها، ساخت‌های دانه درشت و انباشت توده‌ای کانی‌ها دیده می‌شود. ایجاد این درشت بلورها ناشی از انباشت مواد فرار در مایعات لایه‌های مرزی تشکیل شده در جبهه‌های رشد بلوری و در نتیجه افزایش انتشار عناصر کم سرعت چون Si و Al، در این لایه‌های با گرانیروی پایین است [۱۵].

چند رنگی قهوه‌ای و در قسمت‌های خارجی چند رنگی آبی دارند (شکل‌های ۳ الف تا ت). بلورهای تورمالین بیشتر دارای میان‌بارهای زیرکن، مونازیت و زینتیم هستند (شکل‌های ۳ تا ح). به طور کلی، این دایک‌ها دارای دو گستره‌ی ساختی هستند (شکل ۲ ت): ۱- ساخت‌های ناهمسان مربوط به پهنه خارجی شامل ساخت‌های انجماد تک جهته، رشد بلورها به صورت عمود بر دیواره (شکل ۲ ث)، واحدهای دانه‌ریز شامل آپلیت‌های توده‌ای و نواری (شکل ۲ ج)، هم‌رشدی گرافیکی که این ساخت‌ها از مذاب‌های فوق اشباع و گرانیرو در شرایط زیر



شکل ۲ تصاویر صحرایی منطقه سیمین: الف) تنوع واحدهای سنگی در منطقه سیمین شامل شیست، میگماتیت و دایک‌های آپلیتی-پگماتیتی، ب) شواهد پهنه برشی در منطقه (آندالوزیت‌های موجود در شیست‌های لبه حالت سیگموئیدی (S شکل) نشان می‌دهند)، پ) انباشت تورمالین در لبه آندالوزیت‌های سیلیمانیته شده، ت) ساخت‌های انجماد تک جهته از لبه به سمت مرکز (UST) و ساخت توده‌ای (blocky) در مرکز دایک‌های موجود در منطقه، ث) رشد تورمالین‌ها بصورت عمود بر دیواره در لبه آپلیت-پگماتیت‌ها، ج) ساخت آپلیت نواری در لبه آپلیت-پگماتیت‌ها. آپلیت-پگماتیت=ap-peg، هورنفلس=hfs، شیست=sch.



شکل ۳ الف تا ت) تصاویر مقاطع میکروسکوپی از دایک‌های آپلیتی-پگماتیته مورد بررسی: الف و ب) تورمالین‌های دارای منطقه بندی، پ و ت) تورمالین‌های دارای منطقه بندی و میان‌بار زیرکن. (تصاویر الف و پ در نور XPL و تصاویر ب و ت در نور PPL). ث تا ح) تصاویر الکترونی پس پراکنده کانی‌های مونازیت، زیرکن و زینوتیم موجود در آپلیت-پگماتیته‌های منطقه سیمین. (Mnz=مونازیت، Zrn=زیرکن و Xe=زینوتیم).

شیمی کانی‌ها

به منظور بررسی شیمی برخی از کانی‌های موجود در آپلیت‌ها و پگماتیت‌های مورد نظر، کانی‌های تورمالین، پلاژیوکلاز و فلدسپار پتاسیم تجزیه شدند. نتایج به دست آمده در جدول-های ۱ تا ۴ آورده شده است که تفسیر آنها در ادامه می‌آید.

شیمی تورمالین

فرمول عمومی تورمالین را بصورت $XY_3Z_6(T_6O_{18})(BO_3)_3V_3W$ در نظر می‌گیرند [۱۶]، و با توجه به جانشینی‌های احتمالی در جایگاه X، تورمالین‌ها را بر

اساس مقادیر Ca، Na+(K)، و نقصان یا تهیجای X (X-vac)، به سه گروه تورمالین‌های کلسیمی، قلیایی و انواع با تهیجای X، تقسیم کرده‌اند [۱۶] (شکل ۴ الف). بر اساس این رده‌بندی، تورمالین‌های مورد بررسی در گستره‌ی قلیایی قرار دارند که این امر نشانگر بالا بودن مقدار Na و K موجود در جایگاه X در مقایسه با مقدار Ca و کمبود جایگاه مورد نظر است. تورمالین‌های قلیایی بیشتر در شرایط اسیدی و دمای پایین تشکیل می‌شوند [۱۷، ۱۸]. برای بررسی تغییرات ترکیب در نسبت‌های Mg، Fe، Na، و Ca و تشخیص نوع تورمالین‌ها از نمودارهای دوتایی $X\text{-vac}/(X\text{-vac}+Na)$ نسبت به $Mg/(Mg+Fe)$

[۱۹] و نمودار $\text{Na}/(\text{Na}+\text{Ca})$ نسبت به $\text{Fe}/(\text{Fe}+\text{Mg})$ [۲۰]

استفاده شد. در این نمودارها، نمونه‌های مورد بررسی در گستره شورل قرار می‌گیرند (شکل‌های ۴ ب و پ). مقدار Li در

تورمالین‌ها با پیشرفت جدایش افزایش می‌یابد [۲۱]. مقدار

لیتیم مربوط به تورمالین‌های سیمین ۵۲۸ ppm است که نشان دهنده‌ی تشکیل آنها از یک ماگمای جدایش یافته است.

جدول ۱ نتایج تجزیه ریزپردازشی (اکسیدهای اصلی) نمونه‌های تورمالین موجود در آپلیت-پگماتیت‌های منطقه سیمین.

Samples	SIM-6-3-1	SIM-6-3-2	SIM-6-3-3	SIM-6-3-5	SIM-6-5-1	SIM-6-5-2	SIM-6-5-3	SIM-6-5-4	SIM-6-5-5	SIM-6-5-6	SIM-6-5-7	SIM-6-5-8	SIM-6-5-9	SIM-1/1	SIM-2/1	SIM-3/1	SIM-4/1	SIM-5/1	SIM-6/1	SIM-7/1	SIM-8/1	SIM-9/1	SIM-10/1
TiO ₂	۰.۹	۰.۶۱	۰.۶۴	۰.۲۵	۰.۲۹	۰.۳۱	۰.۹۹	۰.۶۸	۰.۹۷	۰.۷۸	۰.۴۸	۰.۹۳	۱.۰۲	۰.۴	۱	۰.۷۸	۰.۹۷	۰.۹۶	۰.۸۷	۰.۳۵	۰.۸۹	۰.۸۹	۰.۶۳
Al ₂ O ₃	۳۳.۴	۲۴	۳۳.۲	۲۹.۵	۳۲	۳۲	۳۲.۷	۳۲.۲	۳۲.۶	۳۲.۴	۳۲.۵	۳۲.۴	۳۲.۳	۳۸	۳۷	۳۶.۸	۳۷.۱	۳۷.۱	۳۶.۶	۳۶.۹	۳۷	۳۶.۷	۳۶.۸
FeO	۱۲.۵	۱۱.۵	۱۲.۲	۱۰.۵	۱۱.۳	۱۱.۳	۱۲.۱	۱۱.۸	۱۲.۲	۱۱.۸	۱۱	۱۱.۵	۱۱.۳	۱۲.۹	۱۴.۳	۱۴.۳	۱۴.۱	۱۳.۳	۱۳.۴	۱۳.۱	۱۳.۵	۱۳.۴	۱۳.۲
MnO	۰.۱۴	۰.۵۳	۰.۱۴	۰.۱۲	۰.۱۲	۰.۱۳	۰.۱۲	۰.۱۲	۰.۱۲	۰.۱۲	۰.۱۳	۰.۱	۰.۱	۰.۲۳	۰.۱۶	۰.۱۷	۰.۰۳	۰.۰۲	۰.۱۶	۰.۱۷	۰.۱۶	۰.۱۷	۰.۱۵
MgO	۰.۶۵	۰.۴۵	۰.۶	۰.۴۳	۰.۴۲	۰.۴۵	۰.۶	۰.۶	۰.۶	۰.۶	۰.۶۲	۰.۷۸	۰.۷۵	۰.۵۲	۰.۵۴	۰.۶۵	۰.۶۲	۰.۷۸	۰.۷۸	۰.۵	۰.۶۲	۰.۶۷	۰.۸۴
CaO	۰.۳۱	۰.۲۴	۰.۲۳	۰.۰۹	۰.۱۲	۰.۱۴	۰.۳۱	۰.۲۹	۰.۳۱	۰.۲۶	۰.۱۵	۰.۲۸	۰.۳۵	۰.۰۹	۰.۲۶	۰.۳۴	۰.۲۴	۰.۲۶	۰.۲۸	۰.۰۹	۰.۲۲	۰.۲۷	۰.۲۸
Na ₂ O	۱.۷۲	۱.۷۲	۱.۶۳	۱.۴۲	۱.۳	۱.۳۴	۱.۶۷	۱.۶	۱.۶۷	۱.۶۱	۱.۴۸	۱.۶۱	۱.۵۷	۱.۳۳	۱.۶۷	۱.۹۷	۱.۸۹	۱.۹۶	۱.۹۱	۱.۶۱	۱.۸۸	۱.۵۸	۱.۷۱
K ₂ O	۰.۰۵	۰.۰۴	۰.۰۵	۰.۰۴	۰.۰۳	۰.۰۳	۰.۰۵	۰.۰۴	۰.۰۵	۰.۰۴	۰.۰۴	۰.۰۴	۰.۰۵	۰.۰۴	۰.۰۵	۰.۰۶	۰.۰۴	۰.۰۶	۰.۰۵	۰.۰۵	۰.۰۵	۰.۰۷	۰.۰۸
Si	۶	۶	۶	۶	۶	۶	۶	۶	۶	۶	۶	۶	۶	۶	۶	۶	۶	۶	۶	۶	۶	۶	۶
Al	۷.۷۲	۷.۸۸	۷.۸۱	۷.۹۴	۷.۹۷	۷.۹۶	۷.۷۲	۷.۷۸	۷.۷۱	۷.۷۸	۷.۹۳	۷.۷۵	۷.۷۵	۶.۸۷	۶.۵	۶.۴۶	۶.۵۲	۶.۵۹	۶.۵۴	۶.۷۶	۶.۵۹	۶.۶	۶.۶۳
Ti	۰.۱۳	۰.۰۹	۰.۱	۰.۰۴	۰.۰۵	۰.۰۵	۰.۱۵	۰.۱	۰.۱۵	۰.۱۲	۰.۰۷	۰.۱۴	۰.۱۶	۰.۰۵	۰.۱۳	۰.۱	۰.۱۳	۰.۱۳	۰.۱۲	۰.۰۵	۰.۱۲	۰.۱۲	۰.۰۹
Fe	۲.۰۵	۱.۸۹	۲.۰۳	۲	۱.۹۹	۱.۹۹	۲.۰۳	۲.۰۳	۲.۰۴	۲.۰۱	۱.۹	۱.۹۶	۱.۹۲	۳.۴۹	۳.۷۸	۳.۷۷	۳.۷۲	۳.۵۴	۳.۶	۳.۶	۳.۵۹	۳.۶۱	۳.۵۶
Mn	۰.۰۲	۰.۰۹	۰.۰۲	۰.۰۲	۰.۰۲	۰.۰۲	۰.۰۲	۰.۰۲	۰.۰۲	۰.۰۲	۰.۰۲	۰.۰۲	۰.۰۲	۰.۰۶	۰.۰۴	۰.۰۴	۰.۰۱	۰.۰۱	۰.۰۴	۰.۰۵	۰.۰۴	۰.۰۵	۰.۰۴
Mg	۰.۱۹	۰.۱۳	۰.۱۸	۰.۱۵	۰.۱۳	۰.۱۴	۰.۱۸	۰.۱۸	۰.۱۸	۰.۱۸	۰.۱۹	۰.۲۳	۰.۲۳	۰.۱۴	۰.۱۴	۰.۱۷	۰.۱۶	۰.۲۱	۰.۲۱	۰.۱۴	۰.۱۷	۰.۱۸	۰.۲۳
B	۳	۳	۳	۳	۳	۳	۳	۳	۳	۳	۳	۳	۳	۳	۳	۳	۳	۳	۳	۳	۳	۳	۳
Ca	۰.۰۶	۰.۰۵	۰.۰۵	۰.۰۲		۰.۰۳	۰.۰۷	۰.۰۶	۰.۰۷	۰.۰۶	۰.۰۳	۰.۰۶	۰.۰۸	۰.۰۲	۰.۰۷	۰.۰۹	۰.۰۶	۰.۰۷	۰.۰۸	۰.۰۲	۰.۰۶	۰.۰۷	۰.۰۸
Na	۰.۶۵	۰.۶۶	۰.۶۳	۰.۶۳	۰.۵۳	۰.۵۵	۰.۶۵	۰.۶۴	۰.۶۵	۰.۶۳	۰.۵۹	۰.۶۳	۰.۶۲	۰.۷۲	۰.۸۸	۱.۰۴	۱	۱.۰۴	۱.۰۳	۰.۸۹	۱	۰.۸۵	۰.۹۲
K	۰.۰۱	۰.۰۱	۰.۰۱	۰.۰۱	۰.۰۱	۰.۰۱	۰.۰۱	۰.۰۱	۰.۰۱	۰.۰۱	۰.۰۱	۰.۰۱	۰.۰۱	۰.۰۲	۰.۰۳	۰.۰۳	۰.۰۲	۰.۰۳	۰.۰۳	۰.۰۳	۰.۰۳	۰.۰۴	۰.۰۴
Xvacancy	۰.۲۷	۰.۲۸	۰.۳۱	۰.۳۴	۰.۴۳	۰.۴۱	۰.۲۷	۰.۲۹	۰.۲۷	۰.۳	۰.۳۶	۰.۲۹	۰.۲۹	۰.۲۴	۰.۰۳	-۰.۱۶	-۰.۰۸	-۰.۱۵	-۰.۱۳	۰.۰۶	-۰.۰۹	۰.۰۴	۰
R1+R2	۲.۹۷	۲.۸۱	۲.۹۰	۲.۸۱	۲.۷۱	۲.۷۴	۲.۹۴	۲.۹۲	۲.۹۵	۲.۹۰	۲.۷۴	۲.۹۰	۲.۸۶	۴.۴۳	۴.۹۰	۵.۱۱	۴.۹۵	۴.۸۷	۴.۹۵	۴.۶۹	۴.۸۶	۴.۷	۴.۸۲
R3	۷.۸۹	۸.۰۰	۷.۹۳	۷.۹۹	۸.۰۴	۸.۰۲	۷.۹۱	۷.۹۲	۷.۹۰	۷.۹۳	۸.۰۳	۷.۹۳	۷.۹۵	۶.۹۴	۶.۶۷	۶.۵۹	۶.۶۸	۶.۷۵	۶.۷	۶.۸۲	۶.۸۲	۶.۷۶	۶.۷۴
Fe#	۰.۹۵	۰.۹۶	۰.۹۵	۰.۹۶	۰.۹۶	۰.۹۶	۰.۹۵	۰.۹۵	۰.۹۵	۰.۹۵	۰.۹۵	۰.۹۳	۰.۹۳	۰.۹۶	۰.۹۶	۰.۹۵	۰.۹۵	۰.۹۴	۰.۹۵	۰.۹۶	۰.۹۵	۰.۹۵	۰.۹۴
Sum	۱۹.۸	۱۹.۸	۱۹.۸	۱۹.۸	۱۹.۷	۱۹.۸	۱۹.۸	۱۹.۸	۱۹.۸	۱۹.۸	۱۹.۸	۱۹.۸	۱۹.۸	۲۰.۶	۲۰.۶	۲۰.۵	۲۰.۵	۲۰.۵	۲۰.۵	۲۰.۶	۲۰.۵	۲۰.۶	۲۰.۵

جدول ۲ نتایج تجزیه عناصر فرعی و کمیاب تورمالین‌های منطقه سیمین به روش ICP-MS

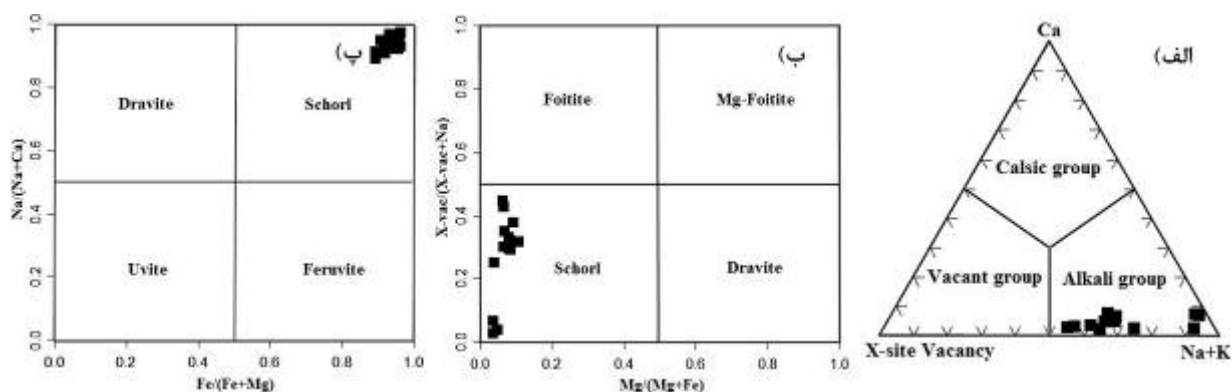
نمونه	SIM6-3-1	SIM6-3-2	SIM6-3-3	SIM-6-5-3	SIM-6-5-4	SIM-6-5-5	SIM-6-5-6	SIM-6-5-7	SIM-6-5-8	SIM-6-5-9
Li	۵۰٫۶	۵۲٫۸	۵۳٫۷	۶۵٫۲	۶۸٫۸	۶۱٫۳	۱۸۲٫۱	۳۴۱٫۴	۷۸	۲۸۴٫۸
Na	۱۳۲۰۰	۱۳۲۶۰	۱۲۵۱۰	۱۲۸۴۰	۱۲۳۳۰	۱۲۸۱۰	۱۲۳۷۰	۱۱۴۱۰	۱۲۳۶۰	۱۲۱۱۰
Mg	۴۰۴۳	۲۸۳۰	۳۷۵۵	۳۷۳۹	۳۷۳۶	۳۷۲۹	۳۷۲۶	۳۸۵۳	۴۸۴۶	۴۶۷۰
P	.	۲۱	۴۰	۴۷	۶۸	۲۷	۳۲	۴	۵۴	۵۵
K	۴۱۶	۳۶۴	۳۷۷	۴۰۵	۳۵۹	۴۴۰	۳۶۲	۳۱۱	۳۷۴	۴۰۳
Ca	۲۲۱۰	۱۶۹۰	۱۶۳۰	۲۱۹۰	۲۰۴۰	۲۲۰۰	۱۸۸۰	۱۰۸۰	۲۰۲۰	۲۵۲۰
Sc	۱۶۶	۱۲۴٫۷	۱۲۱٫۷	۱۸۲٫۱	۱۵۱٫۲	۱۹۰٫۴	۱۶۸٫۱	۱۶۳٫۹	۱۶۹٫۱	۱۸۵٫۷
Ti	۵۶۵۰	۳۸۲۹	۳۹۷۷	۶۱۶۰	۴۲۳۰	۶۰۷۰	۴۸۷۶	۲۹۹۷	۵۸۱۰	۶۳۸۰
V	۰٫۵۷	۰٫۶۶	۰٫۲۷	۰٫۴۸	۰٫۳۱	۰٫۴۳	۰٫۴۸	۱٫۵۸	۱۲٫۷	۳۴٫۵
Cr	۱٫۲	۱٫۳	۱٫۷	.	۲٫۸	۱٫۳	۳	۱٫۹	۲٫۳	۰٫۷
Mn	۱۱۴۹	۴۴۱۹	۱۱۴۴	۱۰۲۴	۱۰۱۴	۱۰۳۲	۱۰۳۸	۱۱۲۳	۸۲۹	۸۶۱
Co	۱٫۲۴	۰٫۹۵	۰٫۸۵	۱٫۶۱	۱٫۷۵	۱٫۴	۱٫۵۷	۳٫۸۲	۶٫۷۳	۷٫۵۵
Ni	۰٫۲۷	۰٫۰۵	۰٫۴۵	۰٫۰۴	۰٫۲۳	۰٫۵۵	۰٫۳۴	.	۰٫۲۶	۰٫۲۷
Ga	۱۰۷٫۴	۱۱۳٫۷	۱۰۷٫۹	۱۱۰٫۷	۱۰۳٫۲	۱۰۶٫۵	۱۰۸٫۶	۹۸٫۳	۱۰۰٫۹	۱۰۲
Ge	۴٫۷	۵	۳٫۳	۲٫۲	۲٫۴	۲٫۲	۳٫۸	۲	۳٫۵	۵٫۱
Rb	۰٫۱	۰٫۱۷	۰٫۰۸	۰٫۰۸	۰٫۱۶	۰٫۳۶	۰٫۱۱	.	۰٫۲۹	۰٫۵
Sr	۰٫۴۵	۰٫۳۶	۰٫۴۹	۰٫۵۴	۰٫۴۴	۰٫۴۱	۰٫۴۵	۰٫۴۱	۰٫۷۸	۰٫۵۴
Y	۰٫۱۰۱۶	۰٫۰۳۹	۰٫۰۸۷	۰٫۰۳۶	۰٫۰۰۶	۰٫۰۲۸	۰٫۰۲۷	.	۰٫۱۰۷	۰٫۰۴۶
Zr	۰٫۵۶	۰٫۳۹	۰٫۵	۰٫۵	۰٫۲۸	۰٫۵۲	۰٫۴۵	۰٫۳۶	۰٫۴۲	۰٫۴۵
Nb	۱٫۳۱	۱٫۲۶	۱٫۳	۱٫۳۶	۱٫۱	۱٫۵۷	۱٫۴۸	۰٫۷۱	۱٫۰۳	۰٫۸۶
Mo	0	0	0	0	0	0	0	0	0	0
Mo
In	۰٫۸۱	۰٫۹	۰٫۶	۰٫۶۱	۰٫۶۹	۰٫۸۲	۰٫۶۹	۰٫۵۱	۰٫۴۴	۰٫۵۴
Sn	۴٫۶۷	۱۵	۴٫۶۱	۴٫۱۱	۳٫۵۹	۳٫۹۹	۳٫۹۴	۳٫۶۴	۲٫۹۸	۴٫۴۳
Cs	۰٫۱۱	۰٫۰۷	.	.	.	۰٫۰۱	.	۰٫۰۲	.	۰٫۰۲
Ba	.	۱٫۰۸
La	۵۰٫۶	۲٫۴۳	۲٫۹۵	۵۲٫۲	۳٫۴	۴۸۱	۴۱۱	۱٫۳۲	۵۳٫۹	۶۳٫۶
Ce	۱۰٫۲۶	۵۵٫۳	۶٫۹۶	۱۰٫۸	۷٫۱۲	۹٫۵۴	۹۰٫۱	۲٫۷۵	۱۰٫۹۹	۱۳
Pr	۰٫۶۹	۰٫۵۳	۰٫۵۸	۰٫۹۶	۰٫۷۳	۱٫۰۱	۰٫۹	۰٫۲۱۵	۰٫۹۱	۰٫۹۲
Nd	۲٫۲۴	۱٫۱	۱٫۷۳	۳٫۲۸	۱٫۷۲	۳٫۵۲	۲٫۴۸	۰٫۶	۳٫۱۲	۳٫۲۲
Sm	۰٫۰۲۶	۰٫۰۹	۰٫۲۴	۰٫۲۵	۰٫۱۳	۰٫۵۲	.	۰٫۰۳۷	۰٫۲۴	۰٫۴۵
Gd	۰٫۰۴۷	.	۰٫۰۲۷	۰٫۰۶۵	.	۰٫۱	.	.	.	۰٫۰۶۲
Ho
Tm
Hf	.	.	.	۰٫۰۵۲	.	۰٫۰۴۴	.	۰٫۰۳۲	.	.
Ta	۰٫۱۳۳	۰٫۵۵	۰٫۱۶۱	۰٫۱۸۸	۰٫۱۷۸	۰٫۲۱۳	۰٫۲۶	۰٫۱۵۱	۰٫۱۵۸	۰٫۲۰۷
Tl	۰٫۰۷۷	۰٫۰۵۲	۰٫۰۵۳	۰٫۰۰۹	۰٫۰۵۴	.	.	۰٫۰۴۴	.	.
Pb	۱٫۶۳	۱٫۶۱	۱٫۳	۱٫۰۶	۱	۱٫۶۱	۰٫۹۸	۰٫۷۳	۱٫۶۷	۱٫۷

جدول ۳ نتایج تجزیه ریزپردازشی (اکسیدهای اصلی) فلدسپارهای موجود در منطقه سیمین.

نمونه	SIM6-3-1	SIM6-3-2	SIM6-3-3	SIM6-3-4	SIM6-3-5	SIM-6-5-1	SIM-6-5-2	SIM-6-5-3	SIM-6-5-4	SIM-6-5-5	SIM-6-5-6	SIM-6-5-7	SIM-6-5-8	SIM-6-5-9	SIM-1-1	SIM-2-1	SIM-3-1	SIM-4-1	SIM-5-1	SIM-6-1	SIM-7-1	SIM-8-1
TiO ₂	۰٫۰۰۱	۰٫۰۰۰	۰٫۰۰۲	۰٫۰۰۱	۰٫۴۵۱	۰٫۰۰۱	۰٫۰۰۱	۰٫۰۰۴	۰٫۰۰۱	۰٫۰۰۲	۰٫۰۰۳	۰٫۰۰۱	۰٫۰۰۱	۰٫۰۰۵	۰٫۰۰۰	۰٫۰۰۰	۰٫۰۰۰	۰٫۰۰۰	۰٫۰۰۰	۰٫۰۰۰	۰٫۰۰۰	۰٫۰۰۰
Al ₂ O ₃	۱۷٫۵۵۰	۱۸٫۹۱۸	۲۰٫۵۰۲	۱۸٫۳۹۶	۶۱٫۱۴۶	۲۰٫۱۹۶	۲۰٫۴۴۸	۲۰٫۶۲۸	۲۰٫۶۴۶	۲۰٫۷۵۴	۲۰٫۰۵۲	۲۰٫۰۵۲	۲۰٫۳۹۴	۲۰٫۵۳۸	۱۹٫۰۷	۱۸٫۵۹	۱۸٫۲۲	۱۸٫۹۲	۲۰٫۶۶	۲۱٫۲۸	۲۰٫۶۶	۲۰٫۲۶
FeO	۰٫۰۰۱	۰٫۰۰۲	۰٫۰۱۴	۰٫۰۰۳	۲۲٫۰۰۸	۰٫۰۰۱	۰٫۰۰۱	۰٫۰۱۴	۰٫۰۰۰	۰٫۰۱۲	۰٫۰۰۹	۰٫۰۱۶	۰٫۰۰۱	۰٫۰۲۴	۰٫۰۳	.	.	.
MnO	۰٫۰۰۱	۰٫۰۰۰	۰٫۰۰۰	۰٫۰۰۰	۰٫۳۸۹	۰٫۰۰۰	۰٫۰۰۰	۰٫۰۰۲	۰٫۰۰۰	۰٫۰۰۲	۰٫۰۰۱	۰٫۰۰۱	۰٫۰۰۰	۰٫۰۰۴	.	۰٫۰۱	.	۰٫۰۱	.	.	.	۰٫۰۱
MgO	۰٫۰۱	۰٫۰۰۱	۰٫۰۱۷	۰٫۰۰۰	۰٫۵۹۵	۰٫۰۰۱	۰٫۰۰۱	۰٫۰۰۴	۰٫۰۰۰	۰٫۰۱۴	۰٫۰۰۶	۰٫۰۱۰	۰٫۰۰۱	۰٫۰۰۹	۰٫۰۳	.	۰٫۰۱	۰٫۰۲
CaO	۰٫۳۸۱	۱٫۴۹۸	۱٫۰۶۸	۰٫۲۵۱	۰٫۴۴۸	۱٫۵۱۹	۱٫۷۶۱	۱٫۴۴۲	۱٫۸۶۵	۱٫۸۶۸	۱٫۲۰۱	۱٫۴۰۴	۱٫۶۹۳	۱٫۲۹۲	۰٫۰۲	۰٫۰۳	.	۰٫۱۹	۰٫۱۹	۰٫۱۷	۰٫۵۵	۰٫۱۹
Na ₂ O	۰٫۴۰۸	۱۰۰٫۵۷	۹۶۰٫۷	۱۰٫۴۲۷	۲٫۸۸۰	۹٫۸۶۷	۹٫۸۰۲	۹٫۴۷۷	۹٫۶۸۶	۹٫۵۳۳	۹٫۶۷۲	۹٫۵۲۹	۹٫۷۱۸	۹٫۵۰۳	۱٫۲۴	۱٫۰۲	۰٫۹۹	.	۱۲۰٫۱	۱۲۰٫۱	۱۱٫۹۳	۱۱٫۴۳
K ₂ O	۱۶٫۸۴۸	۰٫۱۰۹	۰٫۵۹۸	۰٫۱۰۳	۰٫۰۶۵	۰٫۱۰۸	۱۶۷	۰٫۷۵۱	۰٫۱۳۳	۰٫۵۹۶	۰٫۴۴	۰٫۵۹۲	۰٫۱۶۴	۰٫۶۲۲	۱۶٫۰۹	۱۶٫۱۵	۱۶٫۵	۱۶٫۶۱	۰٫۱۱	۰٫۱	۰٫۰۹	۰٫۰۷
Si	۳٫۰۰۰	۳٫۰۰۰	۳٫۰۰۰	۳٫۰۰۰	۳٫۰۰۰	۳٫۰۰۰	۳٫۰۰۰	۳٫۰۰۰	۳٫۰۰۰	۳٫۰۰۰	۳٫۰۰۰	۳٫۰۰۰	۳٫۰۰۰	۳٫۰۰۰	۲٫۵۵۴	۲٫۵۸	۲٫۵۸۳	۲٫۵۸۶	۲٫۶۷۸	۲٫۶۵	۲٫۶۷۸۵۸	۲٫۷۱۵
Al	۰٫۹۷۲	۰٫۹۹۴	۱٫۰۲۶	۱٫۰۰۹	۱٫۰۹۴	۱٫۰۱۴	۱٫۰۱۲	۱٫۰۱۹	۱٫۰۱۴	۱٫۰۱۲	۱٫۰۱۸	۱٫۰۱۴	۱٫۰۱۴	۱٫۰۲۲	۱٫۰۰۹	۰٫۹۸۳	۰٫۹۶۴	۱٫۰۰۳	۱٫۱۰۳	۱٫۱۳۵	۱٫۰۵۶۹	۱٫۰۸۵
Ti	۰٫۰۰۰	۰٫۰۰۰	۰٫۰۰۰	۰٫۰۰۰	۰٫۰۰۵	۰٫۰۰۰	۰٫۰۰۰	۰٫۰۰۰	۰٫۰۰۰	۰٫۰۰۰	۰٫۰۰۰	۰٫۰۰۰	۰٫۰۰۰	۰٫۰۰۰
Fe	۰٫۰۰۰	۰٫۰۰۰	۰٫۰۰۱	۰٫۰۰۰	۰٫۲۷۹	۰٫۰۰۰	۰٫۰۰۰	۰٫۰۰۰	۰٫۰۰۰	۰٫۰۰۰	۰٫۰۰۰	۰٫۰۰۱	۰٫۰۰۰	۰٫۰۰۱	۰٫۰۰۲	.	.	.
Mn	۰٫۰۰۰	۰٫۰۰۰	۰٫۰۰۰	۰٫۰۰۰	۰٫۰۰۵	۰٫۰۰۰	۰٫۰۰۰	۰٫۰۰۰	۰٫۰۰۰	۰٫۰۰۰	۰٫۰۰۰	۰٫۰۰۰	۰٫۰۰۰	۰٫۰۰۰	.	۰٫۰۰۰۸	.	۰٫۰۰۰۸	۰٫۰۰۰۸	.	.	۰٫۰۰۰۸
Mg	۰٫۰۰۰	۰٫۰۰۰	۰٫۰۰۱	۰٫۰۰۰	۰٫۰۱۳	۰٫۰۰۰	۰٫۰۰۰	۰٫۰۰۰	۰٫۰۰۰	۰٫۰۰۱	۰٫۰۰۰	۰٫۰۰۱	۰٫۰۰۰	۰٫۰۰۱	۰٫۰۰۲	.	۰٫۰۰۰۸	۰٫۰۰۲
Ca	۰٫۰۱۹	۰٫۰۷۲	۰٫۰۴۹	۰٫۰۱۲	۰٫۰۰۷	۰٫۰۶۹	۰٫۰۷۹	۰٫۰۶۵	۰٫۰۸۳	۰٫۰۸۳	۰٫۰۵۵	۰٫۰۶۵	۰٫۰۷۷	۰٫۰۵۸	۰٫۰۰۲	۰٫۰۰۲	.	۰٫۰۰۲	۰٫۰۱۵	۰٫۰۱۴	۰٫۰۴۳۶	۰٫۰۱۵
Na	۰٫۰۳۷	۰٫۸۶۹	۰٫۷۹۱	۰٫۹۴۱	۰٫۰۸۵	۰٫۷۹۸	۰٫۷۷۰	۰٫۷۸۳	۰٫۷۸۳	۰٫۷۶۴	۰٫۸۰۸	۰٫۷۹۵	۰٫۷۹۵	۰٫۷۷۸	۰٫۱۹۷	۰٫۱۶۲	۰٫۱۵۷	.	۱٫۹۲۲	۱٫۹۵۳	۱٫۸۹۵۳	۱٫۸۳۷
K	۱٫۰۰۹	۰٫۰۰۶	۰٫۰۳۲	۰٫۰۰۶	۰٫۰۰۱	۰٫۰۰۶	۰٫۰۰۹	۰٫۰۴۰	۰٫۰۰۷	۰٫۰۳۱	۰٫۰۲۵	۰٫۰۳۲	۰٫۰۰۹	۰٫۰۳۳	۲٫۵۵۵	۲٫۵۶۲	۲٫۶۱۹	۲٫۶۴۱	۰٫۰۱۸	۰٫۰۱۶	۰٫۰۱۴۳	۰٫۰۱۱
کل	۲۰۰۳۷	۱۹۴۱	۱۸۹۹	۱۹۶۹	۱۴۹۱	۱۹۰۳	۱۸۹۸	۱۸۹۵	۱۸۸۸	۱۸۹۲	۱۹۰۷	۱۹۰۵	۱۸۹۵	۱۸۹۴	۳۷۶۲	۳۷۱	۳۷۴۱	۳۶۴۷	۳۰۶۲	۳۱۱۷	۳۰۴۹۸	۲۹۵۱
مجموع	۵۰۰۳۷	۴۹۴۱	۴۸۹۹	۴۹۶۹	۴۴۹۱	۴۹۰۳	۴۸۹۸	۴۸۹۵	۴۸۸۸	۴۸۹۲	۴۹۰۷	۴۹۰۵	۴۸۹۵	۴۸۹۴	۶۳۱۷	۶۲۹	۶۳۲۳	۶۳۲۳	۵۷۴۱	۵۷۴۷	۵۷۲۸۴	۵۶۶۶

جدول ۴ نتایج تجزیه عناصر فرعی و کمیاب فلزهای منطقه سیمین به روش ICP-MS.

نمونه	SIM6-3 - 1	SIM6-3 - 2	SIM6-3 - 3	SIM6-3 - 4	SIM6-5 - 1	SIM6-5 - 2	SIM6-5 - 3	SIM6-5 - 4	SIM6-5 - 5	SIM6-5 - 6	SIM6-5 - 7	SIM6-5 - 8	SIM6-5 - 9
Li	۰	۳٫۹	۱۱٫۸	۰	۲٫۳	۰	۶٫۵	۰٫۲	۱۹٫۲	۱۵٫۲	۸٫۹	۲	۹٫۶
Mg	۷٫۶	۵٫۴	۱۰٫۶	۱٫۲۱	۴٫۴	۸٫۷	۲۷٫۸	۰٫۳۱	۸۶	۳۹٫۹	۶۰٫۷	۶۲	۵۷٫۹
P	۹۸۰	۱۲۰٫۷	۴۳۹	۲۷	۸۰٫۱	۱۰۱۰	۶۸۳	۶۸۸	۱۳۰۰	۵۳۳	۱۰۴۰	۷۶۰	۴۹۷
Sc	۲٫۷۵	۲٫۱۸	۲٫۲۱	۲٫۴۶	۲٫۱۷	۱٫۷۳	۲٫۳۵	۲٫۱۷	۲٫۱۲	۱٫۹۶	۲٫۵۲	۲٫۱۱	۵٫۱۷
Ti	۵٫۲	۲٫۳	۱۱٫۷	۳٫۲	۵٫۱	۶٫۵	۲۶٫۹	۸٫۵	۱۵	۱۵٫۷	۷٫۶	۹٫۳	۳۲٫۱
V	۰٫۰۷	۰٫۱۴	۰٫۱	۰٫۰۷	۰٫۰۲	۰٫۱	۰٫۱۳	۰٫۰۳	۰	۰	۰٫۰۲	۰٫۱۸	۰٫۰۶
Cr	۴٫۵	۵٫۳	۲٫۲	۵٫۹	۵٫۴	۰٫۵	۲٫۶	۰٫۶	۲٫۲	۳٫۲	۳٫۳	۲٫۴	۴
Mn	۸٫۶	۲٫۶	۰٫۶	۰	۰	۰٫۳	۱۸	۰	۱۲٫۹	۱۱٫۱	۸٫۳	۱٫۱	۳۱٫۹
Fe	۱۰٫۳	۱۷٫۹	۱۲۰	۱۷٫۴	۷٫۹	۹٫۳	۱۱۳	۰٫۹	۹۸	۷۳٫۶	۱۳۳	۶٫۴	۲۰۱
Co	۰٫۰۴	۰٫۰۶	۰٫۴۵	۰	۰٫۰۱	۰	۰٫۰۷	۰٫۰۳	۰٫۰۵	۰٫۰۷	۰٫۰۵	۰٫۰۲	۰٫۰۸
Ni	۰٫۲۱	۰٫۱۶	۴٫۲۲	۰٫۰۵	۰٫۱	۰٫۱	۰٫۰۴	۰٫۱	۰٫۵۴	۱٫۲۸	۱٫۲۵	۰٫۲۴	۱٫۱۹
Ga	۱۴٫۲	۲۲٫۸	۲۲٫۷	۱۷٫۶	۲۱٫۳	۲۲٫۱	۲۷٫۴	۲۴	۲۳٫۲	۲۱٫۴	۲۴٫۲	۲۲٫۱	۲۵٫۳
Ge	۷٫۱	۴٫۸	۳٫۵	۷٫۷	۴٫۳	۳٫۳	۵٫۶	۲٫۶	۴٫۵	۴	۷٫۷	۳٫۹	۳٫۸
Rb	۱۳۱۹	۰٫۵۴	۲۹	۰٫۳۸	۰٫۸	۲٫۱۷	۲۹٫۳	۰٫۶۵	۲۱٫۶	۱۴	۲۲٫۲	۲٫۲۶	۳۹٫۹
K/Rb	۱۰۶٫۴	۱۶۸۳٫۳	۱۷۱٫۷	۲۲۶۰٫۵	۱۱۳۲٫۹	۶۴۲٫۴	۲۱۳٫۶	۱۷۰٫۴۶	۲۳۰٫۰	۲۶۶٫۴	۲۲۲٫۰	۶۰۵٫۳	۱۲۹٫۸
K/Cs	۶۸۴٫۸	۳۰۳۰٫۰	۱۰۸۲۶٫۱	۵۷۲۶٫۶	۱۷۲۸۸٫۵	۲۱۱۲۱٫۲	۲۳۹۸٫۴	۶۹۲۵۰	۵۱۲۳٫۷	۸۲۸۸٫۸	۲۲۱۰٫۷	۷۲۰۰٫۰	۹۲۵۰
Sr	۳٫۲۱	۲٫۴۸	۱۴٫۷	۱٫۱	۶٫۴۸	۶٫۸۷	۱۶٫۸	۶٫۶۹	۳۲٫۳	۲۱٫۶	۱۹٫۱	۸٫۸۸	۱۰٫۴
Y	۳٫۸۹	۶٫۶۷	۰٫۲۲	۰	۰٫۲۶	۰٫۱۷	۰٫۷۲	۰٫۱۲	۴٫۲۷	۰٫۷۹	۱٫۲۹	۰٫۱۱	۰٫۳۶
Zr	۰	۰	۰٫۱۳	۰	۰	۰	۰٫۰۲	۰	۰٫۲۵	۰٫۲۹	۰٫۱۹	۰	۰٫۰۹
In	۰٫۰۵	۰٫۰۴	۰٫۰۳	۰٫۰۱	۰٫۰۲	۰٫۰۱	۰٫۰۵	۰٫۰۲	۰٫۰۱	۰٫۰۲	۰	۰	۰٫۱۵
Sn	۰٫۲۲	۰٫۱۵	۰٫۸۵	۰٫۰۵	۰٫۳۲	۰٫۲	۵٫۸۴	۰٫۴۳	۰٫۸۲	۰٫۴۷	۱٫۸۸	۱٫۱۹	۱۷٫۹
Cs	۲۰٫۵	۰٫۰۳	۰٫۴۶	۰٫۱۵	۰٫۰۵	۰٫۰۷	۲٫۶۱	۰٫۱۶	۰٫۹۷	۰٫۴۵	۰٫۲۳	۰٫۱۹	۵٫۶
Ba	۶٫۹	۰٫۲۵	۷٫۱	۰٫۳۱	۱٫۸۲	۰٫۵۲	۶٫۵	۰٫۴۱	۱۴٫۵	۸٫۹	۱۰	۱٫۶۵	۳۳٫۵
La	۰٫۹۵	۱	۲٫۸۱	۰	۱٫۴۱	۱٫۹۵	۳٫۹۲	۳٫۱۹	۶٫۲۲	۳٫۵۷	۲٫۲۹	۲٫۵۶	۰٫۹۶
Ce	۲٫۰۲	۳٫۱۶	۵٫۴	۰	۱٫۷۹	۲٫۵۷	۶٫۱۳	۳٫۹۹	۱۱٫۶	۵٫۹	۳٫۵۴	۳٫۹۱	۱٫۶۸
Pr	۰٫۲۵	۰٫۳۸	۰٫۴۵	۰	۰٫۱۳	۰٫۱۵	۰٫۳۹	۰٫۲۶	۱٫۱۲	۰٫۳۹	۰٫۳۲	۰٫۳۲	۰٫۱۲
Nd	۰٫۷۹	۱٫۳۹	۱٫۲	۰	۰٫۵۹	۰٫۲۴	۱٫۴۶	۰٫۵۵	۳٫۷۷	۱٫۴	۰٫۹۵	۰٫۷۲	۰٫۱۴
Sm	۰٫۲۵	۰٫۳۴	۰٫۲	۰	۰	۰٫۰۳	۰٫۲۵	۰	۰٫۶	۰٫۲۲	۰٫۰۲	۰	۰
Gd	۰٫۶	۰٫۸۶	۰	۰	۰٫۰۵	۰	۰	۰	۰٫۸۲	۰	۰٫۳۵	۰	۰٫۰۳
Dy	۰٫۶۳	۱٫۴۲	۰٫۰۲	۰	۰٫۰۴	۰	۰٫۰۸	۰	۱٫۰۷	۰٫۰۶	۰٫۱۵	۰٫۰۳	۰٫۰۹
Ho	۰٫۱۳	۰٫۲۴	۰	۰	۰	۰	۰	۰	۰٫۱	۰	۰٫۰۲	۰	۰
Tm	۰٫۰۴	۰٫۰۸	۰	۰	۰	۰	۰	۰	۰٫۰۴	۰	۰٫۰۱	۰	۰٫۰۱
Ta	۰٫۰۴	۰	۰٫۲۹	۰	۰	۰	۰٫۰۲	۰	۰٫۱۳	۰٫۰۵	۰٫۰۶	۰	۰٫۴۳
Tl	۴٫۹۳	۰٫۰۶	۰٫۲۳	۰٫۰۴	۰٫۰۴	۰٫۰۴	۰٫۲	۰٫۰۱	۰٫۱۹	۰٫۰۷	۰٫۱۳	۰٫۰۵	۰٫۱۲
Pb	۲۳٫۸	۵٫۳۵	۶٫۸۱	۱٫۸۲	۶٫۸	۸٫۸۴	۱۲٫۵	۱۲٫۳	۱۳٫۲	۱۰٫۷	۸٫۷۶	۱۱	۶٫۶۲

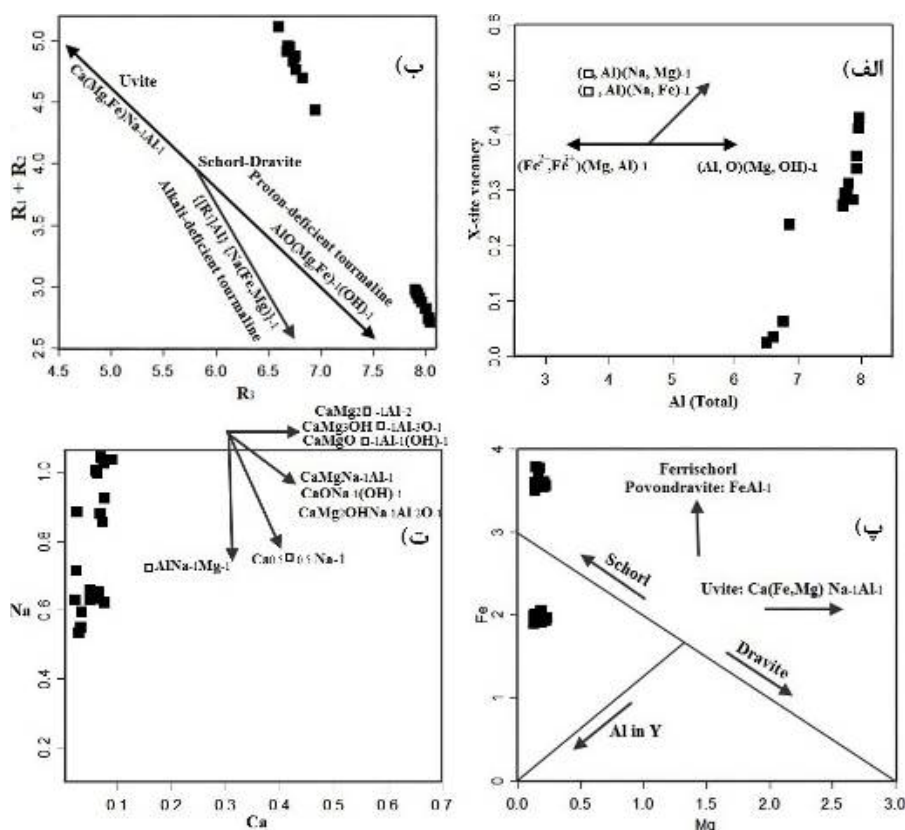


شکل ۴ الف) نمودار مثلثی $Ca-(X-vac)-Na+(K)$ [۱۶]، و جایگاه نمونه‌های مورد بررسی بر آن، $xvac=1-(Ca+Na+K)$ (ب) جایگاه تورمالین-های مورد بررسی بر نمودار $vac/(X-vac+Na)$ نسبت به $Mg/(Mg+Fe)$ [۱۹] و (پ) جایگاه تورمالین‌ها بر نمودار $Na/(Na+Ca)$ نسبت به $Fe/(Fe+Mg)$ [۲۰].

واکنش‌های جانشینی در ترکیب تورمالین

واکنش‌های جانشینی در ساختار تورمالین هم می‌تواند به صورت تبادل یون‌های هم ظرفیت در یک جایگاه ویژه (مانند جانشینی Mg به جای Fe^{+2} در جایگاه Y) و هم به صورت تبادل یون‌های با ظرفیت‌های متفاوت در جایگاه‌های مختلف (مانند جانشینی Ca-Mg به جای Na-Al که دو جایگاه X و Y را درگیر می‌کند) انجام شود. به منظور بررسی واکنش‌های جانشینی احتمالی صورت گرفته در ترکیب تورمالین‌های مورد بررسی، از نمودارهای متفاوتی استفاده شد (شکل ۵). با توجه به روند قابل مشاهده در شکل ۵ الف [۲۲]، در تورمالین‌های مورد بررسی بیشتر واکنش کمبودهای قلیایی با فرمول $\{Ca, Al\}(Mg, Fe)Na$ [۲۱]، دیده می‌شود. در شکل ۵ ب نیز که برای بررسی واکنش‌های جانشینی ترکیب تورمالین‌ها استفاده می‌شود [۲۳]، ترکیب شورل-دراویت نزدیک به مرکز نمودار قرار می‌گیرد. تورمالین‌های مورد بررسی در این نمودار در بالای پیکان پروتون‌زدایی قرار دارند و راستای آنها در جهت

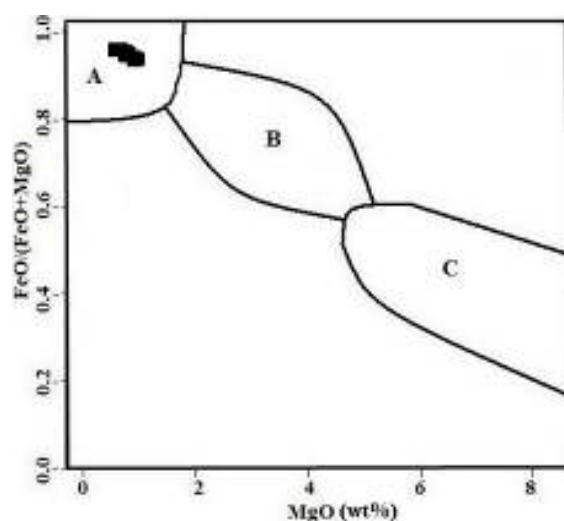
پیکان کمبود قلیایی‌هاست، که نشان دهنده‌ی تأثیر تهی شدن از قلیایی در این نمونه‌هاست. در شکل ۵ پ، ترکیب شورل-دراویت روی خط $\Sigma(Fe + Mg) = 3$ قرار می‌گیرد و همه‌ی نمونه‌هایی که زیر این خط دارای $\Sigma(Fe + Mg) < 3$ بوده که بیانگر جانشینی Al در جایگاه Y است، بنابراین هر چه مقدار $\Sigma(Fe + Mg)$ کمتر باشد، میزان جانشینی Al در جایگاه Y بیشتر می‌شود [۲۴]. در بالای خط شورل-دراویت نیز مولفه تبدالی پوندراویت و اوویت وجود دارد. بر اساس این نمودار، برخی از تورمالین‌های مورد بررسی دارای جانشینی Al در جایگاه Y هستند و برخی از نمونه‌ها که در بالای خط $\Sigma(Fe + Mg) = 3$ قرار می‌گیرند، دارای مقدار Fe بسیار بیشتر از Mg بوده و ترکیب آنها به فری شورل نزدیکتر است. به منظور بررسی غنی شدگی نسبی برخی از نمونه‌ها از Ca نسبت به Na و تعیین واکنش‌های جانشینی مؤثر، از نمودار Na نسبت به Ca استفاده شد [۲۵] (شکل ۵ ت).



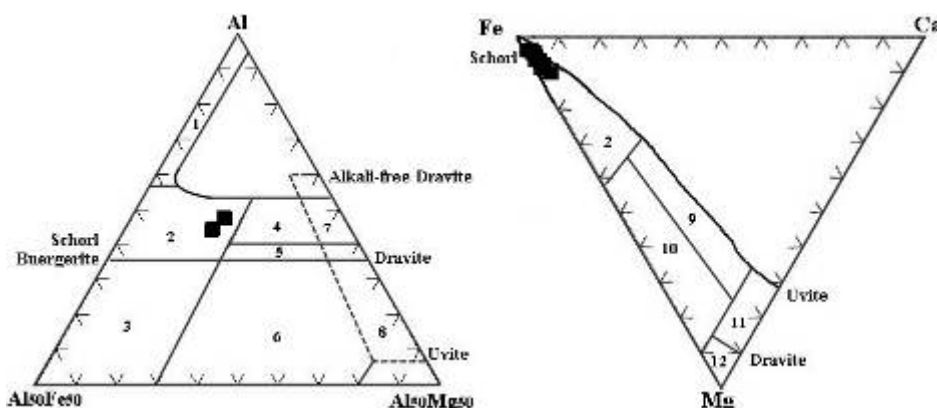
شکل ۵ الف) جایگاه تورمالین‌های مورد بررسی بر نمودار Al_{tot} نسبت به X_{vac} [۲۲]. ب) جایگاه تورمالین‌های مورد بررسی بر نمودار $R_1 + R_2$ نسبت به R_3 [۲۳] که $R_3 = Al + 1.33Ti$, $R_2 = Fe + Mg + Mn$, $R_1 = Ca + Na$ که ترکیب آرمانی شورل-دراویت نشان دهنده‌ی جانشینی‌های یوویت (پیکان بالایی) و جانشینی‌های تورمالین‌های ناقص از نظر قلیایی و پروتون‌زدایی (پیکان پایینی) هستند، پ) جایگاه تورمالین‌های مورد بررسی بر نمودار Fe نسبت به Mg [۲۴]. ت) جایگاه تورمالین‌های مورد بررسی بر نمودار Na نسبت به Ca [۲۵].

خارجی در تشکیل آنها نقشی نداشته‌اند (شکل ۶). با توجه به نمودارهای سه تایی $\text{Al}_{50}\text{Mg}_{50}\text{Al}-\text{Fe}_{(\text{tot})50}-\text{Al}$ و $\text{Ca}-\text{Fe}-\text{Mg}$ [۲۸] که خاستگاه را مشخص می‌کند، تورمالین‌های مورد بررسی در گستره‌ی گرانیوئیدهای فقیر از Li و پگماتیت‌ها و آپلیت‌های وابسته به آن قرار دارند (شکل ۷).

بیشتر نمونه‌های مورد بررسی دارای Ca کمتر از ۰/۱ هستند، در حالی که مقدار Na در این نمونه‌ها تغییرات گسترده‌ای دارد پس در تشکیل این تورمالین‌ها مؤلفه‌ی $\text{AlNa}_{-1}\text{Mg}_{-1}\square$ مؤثر است که بیانگر تشکیل تهیجای X است [۲۶]. بر اساس نمودار تغییرات $\text{FeO}/\text{FeO}+\text{MgO}$ براساس MgO [۲۷]، تورمالین‌های موجود در توده‌ی گرانیتی بوجود آمده‌اند و شاره‌های



شکل ۶ نمودار $\text{FeO}/\text{FeO}+\text{MgO}$ نسبت به MgO [۲۷] گستره‌ی A شاخص تورمالین‌های درون و نزدیک توده‌ی گرانیتی و نشانگر بسته بودن سیستم ماگمایی و دخالت نداشتن سیال‌های خارجی در تشکیل تورمالین‌هاست، گستره‌ی B شاخص تورمالین‌هایی است که در فاصله‌ی نزدیک تا حد واسط توده‌ی گرانیتی قرار دارند. هم سیال‌های ماگمایی و هم سیال‌های گرمایی در تشکیل این تورمالین‌ها نقش داشته‌اند. گستره‌ی C نشان دهنده‌ی تورمالین‌های دور از توده گرانیتی است و اشاره به خاستگاه خارجی بور و وجود یک سیستم گرمایی دارد.



شکل ۷ جایگاه تورمالین‌های مورد بررسی بر نمودارهای سه تایی $\text{Al}_{50}\text{Mg}_{50}\text{Al}-\text{Fe}_{(\text{tot})50}-\text{Al}$ و $\text{Ca}-\text{Fe}-\text{Mg}$ [۲۸] ۱ گرانیوئیدهای غنی از لیتیم، پگماتیت‌ها و آپلیت‌های وابسته به آن‌ها، ۲- گرانیوئیدهای فقیر از لیتیم، پگماتیت‌ها و آپلیت‌های وابسته به آن‌ها، ۳- سنگ‌های کوارتز-تورمالین سرشار از Fe^{+3} ، ۴- متاپلیت‌ها و متا پسامیت‌های همزیست با یک فاز اشباع از آلومینیوم، ۵- متاپلیت‌ها و متا پسامیت‌های ناهمزیست با یک فاز اشباع از آلومینیوم، ۶- سنگ‌های آهکی سیلیکاتی، متاپلیت‌ها و سنگ‌های کوارتز-تورمالین سرشار از Fe^{+3} ۷- اولترامافیک‌های دگرگون شده با کلسیم پایین و ته نشست‌های دگرگون شده غنی از وانادیم و کروم ۸- متاکربنات‌ها و متاپیروکسنیت‌ها ۹- سنگ‌های کالک‌سیلیکاته، متاپسامیت‌ها و متاپلیت‌های غنی از Ca ۱۰- سنگ‌های کوارتز-تورمالین، متاپسامیت‌ها و متاپلیت‌های فقیر از Ca، ۱۱- متاکربنات‌ها ۱۲- فرامافیک‌های دگرگون شده.

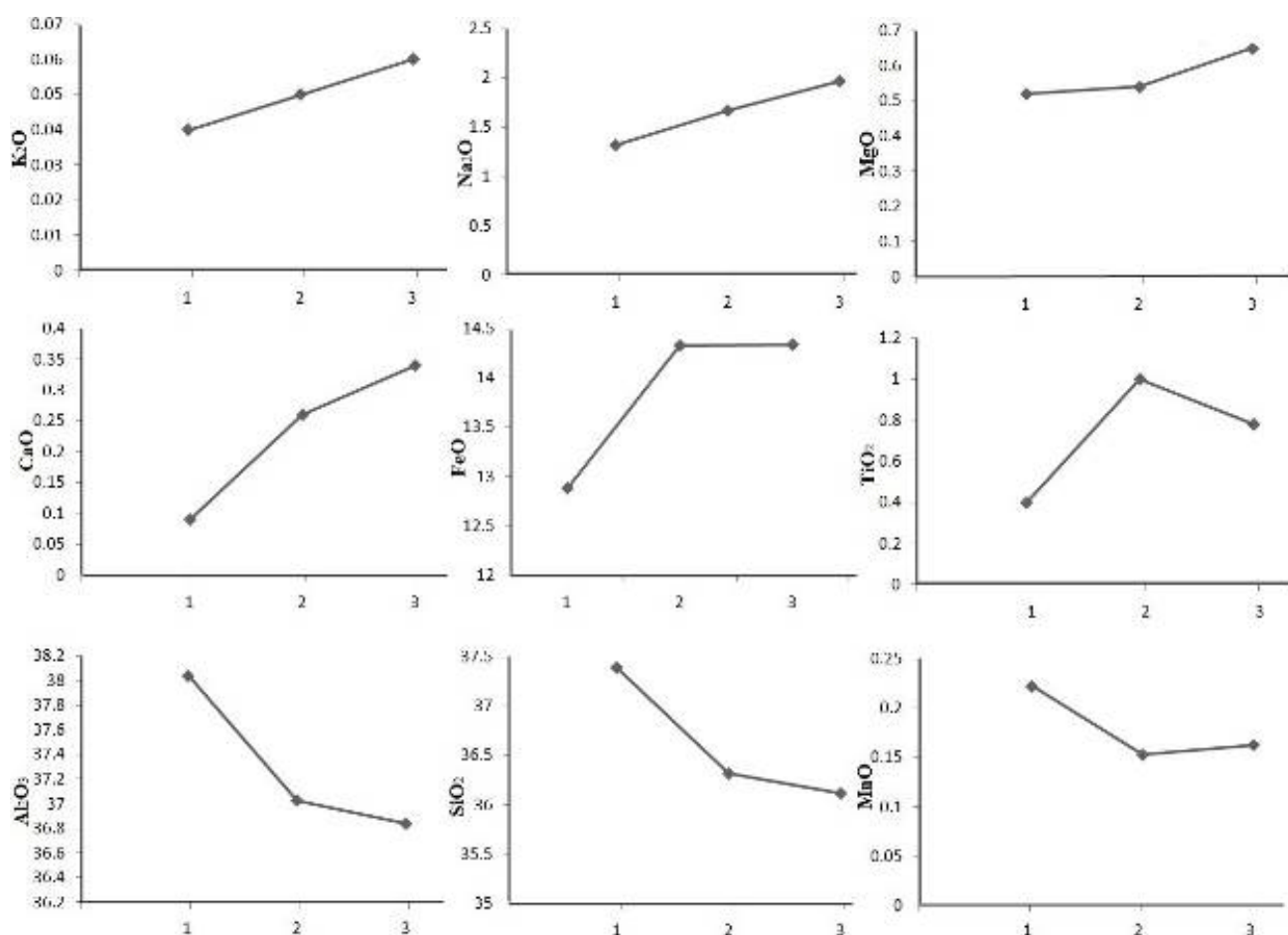
منطقه بندی در تورمالین‌ها

تورمالین‌های موجود در آپلیت-پگماتیت‌های مورد بررسی دارای منطقه‌بندی نمایانی هستند. این منطقه‌بندی هم در مقاطع میکروسکوپی (شکل‌های ۳ الف تا ت) و هم در نتایج تجزیه‌های انجام شده از مرکز به سمت لبه بلورها کاملاً مشهود است. نمونه‌ای از تجزیه‌های انجام شده و روند تغییرات عناصر از مرکز به سمت لبه در تورمالین‌های مورد بررسی در شکل ۸ دیده می‌شود که مقادیر CaO ، MgO ، Na_2O ، K_2O ، FeO ، MnO و SiO_2 ، Al_2O_3 روند صعودی و مقادیر TiO_2 ، Al_2O_3 ، FeO و MnO روند نزولی دارند. منطقه‌بندی در تورمالین‌ها نشان دهنده تغییرات ناگهانی دما، فشار و ترکیب شیمیایی سیال و یا تبلور غیر عادی سریع تورمالین در سیستم‌های باز است [۲۳]. با توجه به روند ساختی دیده شده از لبه به سمت مرکز در این دایک‌ها (ساخت‌های نواری، گرافیکی، رشد عمود بر دیواره، ساخت‌های

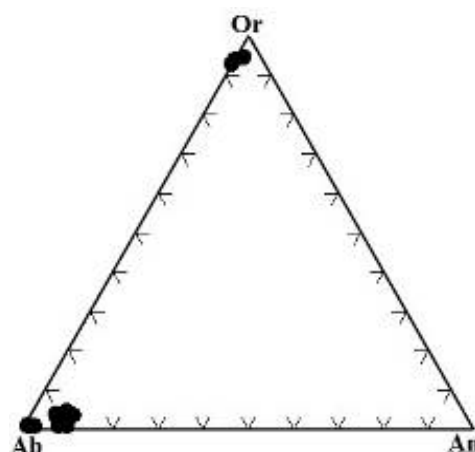
درشت بلور موجود در مرکز دایک)، می‌توان نتیجه گرفت که سیستم تشکیل این دایک‌ها بسته بوده و علت تشکیل تورمالین‌های دارای منطقه بندی تغییرات متناوب دما و فشار در مخزن ماگمایی طی تبلور است.

شیمی فلدسپارها

نمونه‌های فلدسپار موجود در آپلیت-پگماتیت‌های منطقه، سیمین تجزیه شدند که نتایج بدست آمده در جدول‌های ۳ و ۴ آورده شده است. محاسبه فرمول ساختاری آنها بر پایه ۸ اتم اکسیژن و به روش مرجع [۲۹] انجام شد که بر این اساس، پلاژیوکلازهای منطقه دارای ترکیب غالب آلبیت (Ab_{90-100}) و فلدسپارهای پتاسیم نیز دارای ۹۷٪-۹۲ درصد فلدسپار پتاسیم (Kf_{92-97}) هستند (شکل ۹). این امر نشان‌دهنده پیشرفت تبلور جدایشی در ماگمای وابسته است.



شکل ۸ تغییرات اکسیدها در تورمالین‌های دارای منطقه بندی مورد بررسی مربوط به منطقه سیمین (ترتیب نقاط از ۱ تا ۳ از مرکز بلور به سمت لبه بلور می‌باشد).



شکل ۹ ترکیب فلدسپارهای مورد بررسی موجود در آپلیت‌های منطقه سیمین.

وابسته محسوب می‌شوند. از آنجاکه عناصر Rb و Cs هر دو ناسازگار هستند، با پیشرفت تبلور جدایشی در ماگما، مقدار آنها افزایش می‌یابد و چون با پیشرفت تبلور جدایشی در ماگما، مقادیر K/Rb و K/Cs هر دو کاهش می‌یابند، نسبت به هم دارای هم بستگی مثبت هستند (مقدار ضریب هم بستگی آنها در نمونه‌های مورد بررسی ۰/۴۴ است).

بحث

تورمالین‌های ماگمایی اغلب نسبت به تورمالین‌های گرمایی خود شکل هستند [۲۳]. تورمالین در اصل از ماگماهای گرانیته نوع S که پرآلومین بوده و دارای مقدار B اولیه بیشتری هستند، در شرایط اسیدی (مقدار بالای SiO_2 بالا) ماگما تشکیل می‌شوند. مقدار Al در تورمالین‌های گرمایی نسبت به تورمالین‌های ماگمایی کمتر است [۲۳] و مقدار کاستی در جایگاه X در تورمالین‌های گرمایی کمتر است [۲۰] (شکل ۵). براساس پژوهش‌های انجام شده در منطقه، پگماتیت‌ها و آپلیت‌های موجود از نظر ضریب اشباع از آلومینیوم پرآلومین هستند [۳۰]، بنابراین شرایط مورد نیاز برای تشکیل تورمالین-های اولیه از ماگمای مادر فراهم بوده است. در شکل‌های ۴ پ، ۵ و ۶، تورمالین‌های مورد بررسی در گستره‌ی ماگمایی قرار دارند.

پنج عنصر کلیدی که در بررسی‌های زمین‌شیمی فلدسپارها بیشتر در نظر گرفته می‌شوند K، Na، Si، Rb و Cs هستند [۲۱]. مقدار K و Na سدیمی و پتاسیمی بودن ترکیب فلدسپار را نشان می‌دهد. مقادیر بالای Si بیانگر حضور کوارتز در ساختار فلدسپار است و مقادیر بالای Rb و Cs نشان می‌دهد که این فلدسپارها بسیار جدایش یافته‌اند. از نظر سلوی و همکاران [۲۱] پگماتیت‌های بسیار جدایش یافته‌ی دنیا که دربردارنده فلدسپارهای پتاسیم درشت بلور هستند، دارای $\text{Rb} > 3000 \text{ ppm}$ و $\text{Cs} > 100 \text{ ppm}$ هستند (جدول ۵). بر اساس مقدار اکسیدهای K_2O و Na_2O و نیز با توجه به شکل ۹، فلدسپارهای مورد بررسی در دو قطب غنی از آلبيت و غنی از فلدسپار پتاسیم قرار دارند. بیشترین مقدار Rb در فلدسپارهای مورد بررسی ۱۳۱۹ ppm می‌باشد و بیشترین مقدار Cs نیز ۲۰۵ ppm است (جدول ۵). کمترین مقدار K/Rb در فلدسپارهای سیمین ۱۰۶/۴ و کمترین مقدار K/Cs نیز در آنها ۶۸۴/۸ است. در مقایسه با داده‌های موجود در جدول ۵، ترکیب فلدسپارهای موجود بین فلدسپارهای گرانیته زایا و پگماتیت دربردارنده عناصر کمیاب قرار دارد که بیانگر جدایش یافتگی ماگمای تشکیل دهنده‌ی این آپلیت-پگماتیت-هاست. مقادیر نسبت‌های K/Rb و K/Cs در فلدسپارها به عنوان معیاری برای تعیین میزان جدایش یافتگی ماگمای

جدول ۵ تمرکز عناصر ناسازگار در فلدسپارهای موجود در آپلیت-پگماتیت‌های منطقه سیمین در مقایسه با گرانیته و پگماتیت‌ها (مقادیر مربوط به نمونه‌های ستاره دار برگرفته از مرجع [۲۱] هستند).

Rb (ppm)	Cs (ppm)	K/Rb	پتاسیم فلدسپار موجود در
<۴۰۰	<۱۰	>۱۵۰	گرانیته نازا*
۵۰۰-۳۰۰۰	۲۰-۱۰۰	۳۰-۱۵۰	گرانیته زایا*
>۳۰۰۰	>۱۰۰	<۳۰	پگماتیت دربردارنده عناصر کمیاب*
۰/۳۸-۱۳۱۹	۰/۰۳-۲۰۵	۱۰۶/۴-۲۲۶۰/۵	سیمین

جدایش یافتگی ماگمای تشکیل دهنده‌ی این آپلیت-پگماتیت هاست.

برداشت

در دایک‌های موجود در منطقه سیمین همدان، ساخت‌های ماگمایی ویژه مربوط به دایک‌های آپلیتی-پگماتیته به صورت نوعی دیده می‌شود. در این دایک‌ها، ساخت‌های نواری، رشد عمود بر دیواره تورمالین‌ها و بلورهای درشت پگماتیته دیده می‌شود. شکل دار بودن تورمالین‌های تشکیل شده، بالا بودن مقدار $Fe/(Fe+Mg)$ در این نمونه‌ها (ترکیب شورل)، قرار گرفتن آنها در راستای بردارهای کمبود قلیایی نشان دهنده‌ی خاستگاه ماگمایی آن‌هاست. همچنین همه‌ی تورمالین‌های مورد بررسی در نمودار $Fe\#$ نسبت به MgO در گستره A قرار دارند که نشان‌دهنده‌ی خاستگاه ماگمایی آنهاست. در نمودارهای سه تایی $Al_50 Mg_{50} Al_{50} Fe_{(tot)50}-Al-$ و $Ca-Fe-Mg$ ، تورمالین‌های مورد بررسی در گستره‌ی گرانیته‌های فقیر از Li و پگماتیت‌ها و آپلیت‌های وابسته به آن قرار دارند. منطقه‌بندی موجود در تورمالین‌ها نشان‌دهنده‌ی تغییر ترکیب ماگما طی تبلور جدایشی است. پلاژیوکلازهای منطقه دارای ترکیب غالب آلپیت و فلدسپارهای پتاسیم نیز دارای بیش از ۹۲٪ پتاسیم فلدسپار هستند، که نشان دهنده پیشرفت تبلور جدایشی در ماگمای وابسته است. شیمی کانی‌های مورد بررسی نشان می‌دهد که ماگمای تشکیل دهنده‌ی این آپلیت-پگماتیت‌ها جدایش یافته هستند.

قدردانی

نویسندگان مقاله از جناب آقای مهندس قلی‌زاده، کارشناس شرکت فرآوری مواد معدنی کرج و پروفیسور دیوید لنتز، استاد دانشگاه نیوبونزویک کانادا، به خاطر همکاری‌شان در انجام تجزیه‌ها کمال تشکر و قدردانی را دارند.

مراجع

- [1] Jahns R.H., "The genesis of pegmatites. I. Occurrence and origin of giant crystals", American Mineralogist 38 (1953) 563-598.
- [2] Jahns R.H., Burnham C.W., "Experimental studies of pegmatite genesis: I. A model for the derivation and crystallization of granitic pegmatites", Economic Geology 64 (1969) 843-864.
- [3] Anderson G.M., Burnham C.W., "Feldspar solubility and the transport of aluminum under metamorphic conditions", American Journal of Science 283 (1983) 283-297.
- [4] Tagirov B., Schott J., Harrichourry J.C., Salvi, S., "Experimental study of aluminum speciation in fluoride-rich supercritical fluids",

بر اساس بررسی‌های منینگ [۲۳]، تورمالین‌های ماگمایی نسبت به تورمالین‌های گرمایی دارای نسبت $Fe/(Fe+Mg)$ بیشتری (بیش از ۰/۵ درصد) هستند [۲۸] (شکل ۴ پ). پیروی نکردن مقادیر Fe^{+2} و Mg از یکدیگر و بالا بودن مقدار Fe^{+2} نسبت به Mg در تورمالین‌های مورد بررسی نشان دهنده تشکیل آن‌ها بصورت ماگمایی است (شکل ۵ پ). بر اساس تغییرات $Fe\# = FeO/(FeO+MgO)$ در برابر MgO در تورمالین‌ها [۲۷]، مقدار $Fe\#$ در تورمالین‌ها با فاصله گرفتن از توده گرانیته کمتر می‌شود. نسبت $FeO/(FeO+MgO)$ در تورمالین‌ها اگر در گستره‌ی ۱ تا ۰/۸ باشد نشانگر بسته بودن سیستم ماگمایی، قرار گرفتن تورمالین‌ها درون و در نزدیکی توده‌ی گرانیته و دخالت نداشتن سیال‌های خارجی در تشکیل تورمالین‌هاست، قرار گرفتن این مقدار در گستره‌ی ۰/۸ تا ۰/۶ شاخص تورمالین‌هایی در فاصله‌ی نزدیک تا حد واسط نسبت به توده‌ی گرانیته و نشان دهنده‌ی آن است که هم سیال‌های ماگمایی و هم سیال‌های گرمایی در تشکیل تورمالین‌ها نقش داشته‌اند؛ و در صورتی که مقدار $FeO/(FeO+MgO)$ کمتر از ۰/۶ باشد نشان دهنده‌ی تورمالین‌های با فاصله‌ی دور از توده گرانیته است و اشاره به خاستگاه خارجی بور و وجود یک سیستم گرمایی دارد. بر این اساس، با توجه به قرار گرفتن تورمالین‌های مورد بررسی در گستره A، این تورمالین‌ها خاستگاه ماگمایی دارند (شکل ۶). ترکیب تورمالین‌های مورد بررسی بر نمودارهای سه تایی $Al_50 Mg_{50} Al_{50} Fe_{(tot)50}-Al-$ و $Ca-Fe-Mg$ در گستره‌ی شورل قرار دارد (شکل ۷). نمودارهای شکل ۷ نشان دهنده‌ی تغییرات Fe و Mg در مقادیر نسبتاً ثابت Al و Ca است. قرارگیری نمونه‌ها در بالای خط شورل- دراویت نشان دهنده‌ی مقدار ناچیز Fe^{+3} در این نمونه‌ها است [۲۸]. بر اساس این نمودارها که سنگ منبع تورمالین را مشخص می‌کنند، نمونه‌های مورد بررسی، در گستره‌ی گرانیته‌های فقیر از Li و پگماتیت‌ها و آپلیت‌های وابسته به آن قرار می‌گیرند. پلاژیوکلازهای مورد بررسی در این آپلیت-پگماتیت‌ها دارای ترکیب آلپیتی هستند که نشان دهنده‌ی پیشرفت تبلور جدایشی در ماگمای تشکیل دهنده است. در تورمالین‌های موجود، منطقه‌بندی هم در مقاطع میکروسکوپی و هم در نتایج تجزیه‌های انجام شده به خوبی مشهود است. در فلدسپارهای مورد بررسی، مقادیر بالای Rb (۱۳۱۹ ppm) و Cs (۲۰۵ ppm) و نسبت پایین K/Rb (۱۰۶/۴) و K/Cs (۶۸۴/۸) بیانگر جدایش یافتگی این نمونه-هاست. همچنین در مقایسه با نمونه‌های مناطق دیگر دنیا، ترکیب فلدسپارهای موجود بین فلدسپارهای گرانیته زایا و پگماتیت دربردارنده عناصر کمیاب قرار می‌گیرد که بیانگر

- [18] Rosenberg P.E., Foit, F.F., "Synthesis and characterization of alkali-free tourmaline", *American Mineralogist* 64 (1979) 180-186.
- [19] Slack J.F., Palmer M.R., Stevens B.P.J., Barnes R.G., "Origin significance of tourmaline-rich rocks in the Broken Hill district, Australia", *Economic Geology* 88 (1993) 505-541.
- [20] Trumbull R.B., Chaussidon M., "Chemical and boron isotopic composition of megmatic and hydrothermal tourmalines from the Sinceni granite-pegmatite system in Swaziland", *Chemical Geology* 153 (1999) 125-137.
- [21] Selway J.B., Breaks, F.W., "Tindle, A.G., A Review of Rare-Element (Li-Cs-Ta) Pegmatite Exploration Techniques for the Superior Province, Canada, and Large Worldwide Tantalum Deposits", *Exploration and Mining Geology* 14 (2005) 1-30.
- [22] Torres-Ruiz J., Pesquera A., Gil-Crespo P.P., Vellila N., "Origin and petrogenetic implications of tourmaline-rich rocks in the Sierra Nevada (Betic Cordillera, southeastern Spain)", *Chemical Geology* 197 (2003) 55-86.
- [23] Manning D.A.C., "Chemical and morphological variation in tourmalines from the Hub Kapong batholith of Peninsular Thailand", *Mineralogical Magazine* 45 (1982) 139-147.
- [24] London D., Manning D.A.C., "Chemical Variation and Significance of tourmaline from southwest England", *Economic Geology* 90 (1995) 495-519.
- [25] Pesquera A., Velasco F., "Mineralogy, geochemistry and geological significance of tourmaline - rich rocks from the Paleozoic Cinco Villas massif (western Pyrenees, Spain)", *Contributions to Mineralogy and Petrology* 129 (1997) 53-74.
- [26] Pesquera A., Torres-Ruiz J., Gil-Grespo P. P., Vellilla N., "Chemistry and genetic implications of tourmaline and Li-F-Cs micas from the Valdeflores area (Caceres, Spain)", *American Mineralogist* 84 (1999) 55-69.
- [27] Pirajno F., Smithies R.H., "The FeO/(FeO+MgO) ratio of tourmaline: A useful indicator of spatial variations in granite-related hydrothermal mineral deposits", *Journal of Geochemical Exploration* 42 (1992) 371-381.
- [28] Henry D.J., Guidotti Ch.V., "Tourmaline as petrogenetic indicator mineral: an example from staurolite-grade metapelites of NW Mains", *American Mineralogist* 70 (1985) 1-15.
- [29] Deer W.A., Howie, A., Zussman J., "An introduction to the rock-forming minerals", Longman, London (1991) 528p.
- [30] Tabrizi M., "The role of dykes and late-stage veins in the evolution of the Alvand Plutonic", MSc thesis, Bu-Ali Sina University, Hamedan, Iran (2013). 171p (in Persian).
- Geochimica et Cosmochimica Acta 66 (2002) 2013-2024.
- [5] London D., "Pegmatites", Canadian Mineralogist Special Publication 10 (2008) 368 pp.
- [6] Frahpour M., "Petrofabric analysis of regional metamorphic rocks from east of Hamedan batholith", MSc thesis, Tarbiat Modares University, Tehran, Iran (1997). 120p (in Persian).
- [7] Jafari S. R., "Petrology of migmatites and plutonic rocks from south of Simin area (Hamedan)", MSc thesis, Bu-Ali Sina University, Hamedan, Iran (2006). 156p (in Persian).
- [8] Molaee Yeganeh T., "A study of controlling factors for irregular distribution of kyanite in the metamorphic and plutonic rocks of the Hamedan area", MSc thesis, Bu-Ali Sina University, Hamedan, Iran (2009). 135p (in Persian).
- [9] Izadikian L., "Structural and petrofabric analysis of metamorphic rocks of Alvand mountain (south and southwest of Hamadan)", Ph.D. Thesis in tectonic, Shahid Beheshti university, Tehran, Iran (2009). 157 (in Persian).
- [10] Sepahi A. A., Salami, S., Tabrizi M., "Geochemistry of tourmalines in aplitic and pegmatitic dikes from Alvand plutonic and metamorphic rocks of the Hamedan area", *Iranian Journal of Crystallography and Mineralogy*. 3 (2014) 495-506 (in Persian).
- [11] Amidi M., Majidi B., "Explanatory Text of Hamadan Quadrangle Map Scale 1:250,000. Geology Survey of Iran", (1977).
- [12] Mohajjel M., Sahandi M., "Tectonic evolution of Sanandaj-Sirjan zone at the northwest part and introduce new subzone", *Scientific Quarterly Journal of Geoscience*. 31-32 (1999) 2001.
- [13] Izadikian L., Alavi A., Mohajjel M., "Structural analysis of the Simin-Darreh Moradbeik shear zone, south of Hamedan", *Iranian Journal of Geosciences* 75 (2010) 39-46 (in Persian).
- [14] Jafari S. R., "Petrology of high grade metamorphic rocks in Hamedan and adjacent areas in Sanandaj-Sirjan Zone". Ph.D. thesis, Bu-Ali Sina University, Hamedan, Iran (2018). 201p (in Persian).
- [15] London D., "The origin of primary textures in granitic pegmatites", *Canadian Mineralogist* 47 (2009) 697-724.
- [16] Hawthorne F.C., Henry D.J., "Classification of the minerals of the tourmaline group", *European Journal of Mineralogy* 11 (1999) 201-215.
- [17] Collines A.C., "Mineralogy and geochemistry of tourmaline in contrasting hydrothermal system, Coplapo area, Northern Chile", Ph.D. Thesis. University of Arizona, United States (2010). 225p.